





Vypracoval: Ing. Tomasz Lasota		HIP: Ing. Michal Žlebek		Generální projektant:   	
Kontroloval: Ing. Ernest Jeżowicz		Zodpovědný projektant: Ing. Tomasz Lasota		 opadu 2172/15 708 33 Ostrava-Poruba	
Projekt	Infrastruktura pro elektromobilitu II, část 3 „Lokalita Vítkovická“				
Projektant profese	VŠB-TU Ostrava, Výzkumné energetické centrum	Zákaznické číslo: 2020-437			
Investor	Dopravní podnik Ostrava a.s., Poděbradova 494/2 Moravská Ostrava 702 00 Ostrava	Stupeň PD	DPS	Paré:	
Místo stavby	Vítkovická 3133/5, 702 00 Moravská Ostrava a Přívoz	Datum	01/2022		
Stavební objekt	SO01 Zastřešené stání a zpevněné plochy	Formát	A4		
Díl projektu	OCELOVÉ KONSTRUKCE	Měřítko	-		
Název dokumentu	Statický výpočet	Číslo dokumentu: 437-20-6S13-2		Revize: 0	

OBSAH

1. POUŽITÉ NORMY, LITERATURA	3
2. PROJEKČNÍ PODKLADY	3
3. PŘEDPOKLADY VÝPOČTU	3
4. 3D MODEL	4
5. POPIS KONSTRUKCE	4
6. MATERIÁLY	4
7. KONSTRUKCE - GEOMETRIE	5
7.1. Čísla uzlů	5
7.2. Čísla prutů	5
7.3. Klouby	6
7.4. Podpory v uzlech	6
8. ZATÍŽENÍ	7
8.1. Určení zatížení	7
8.2. Zatěžovací stavy	11
8.3. Skupiny zatížení	12
8.4. Kombinace	12
8.5. Klíč kombinace	13
8.6. Zatěžovací stavy	15
9. REAKCE	26
9.1. Čísla podpěr	26
9.2. Reakce; R_x , R_y , R_z , M_x , M_y	27
9.3. Reakce	27
9.4. Kotvení - Hilti	28
9.5. Kotvení Idea Statica	34
10. DEFORMACE	41
10.1. Deformace na prutu; u_z	41
10.2. Deformace na prutu; u_y	41
11. ČÍSLA PRŮŘEZŮ	42
12. POSOUZENÍ MS ÚNOSNOSTI	43
12.1. Průřezy	43
13. NÁVRH A POSOUZENÍ TRAPÉZOVÉHO PLECHU	52

1. POUŽITÉ NORMY, LITERATURA

V aktuálně platném znění:

ČSN EN 1990 - Zásady navrhování konstrukcí

ČSN EN 1991-1 - Část 1-1: Obecná zatížení

ČSN EN 1991-1-3 - Část 1-3: Obecná zatížení – zatížení sněhem

ČSN EN 1991-1-4 - Část 1-3: Obecná zatížení – zatížení větrem

ČSN EN 1993-3 – Zatížení konstrukcí – Část 3: Zatížení od jeřábů a strojního vybavení

ČSN EN 1993-1-1 – Navrhování ocelových konstrukcí – Část 1-1: Obecná pravidla a pravidla pro pozemní stavby

ČSN EN 1993-1-2 – Navrhování ocelových konstrukcí – Část 1-2: Obecná pravidla –

Navrhování konstrukcí na účinky požáru

ČSN EN 1993-1-3 – Navrhování ocelových konstrukcí – Část 1-3: Obecná pravidla – Doplňující pravidla pro tenkostěnné za studena tvarované prvky a plošné profily

ČSN EN 1993-1-5 – Navrhování ocelových konstrukcí – Část 1-5: Boulení stěn

ČSN EN 1993-1-8 – Navrhování ocelových konstrukcí – Část 1-8: Navrhování styčníků

ČSN EN 1993-6 – Navrhování ocelových konstrukcí – Část 6: Jeřábové dráhy

WALD, F., VRANÝ, T. Ocelové konstrukce, tabulky, ČVUT Praha 2008

VRANÝ, T., ELIÁŠOVÁ, M. Ocelové konstrukce 20, Pomůcka pro navrhování hal, ČVUT Praha 2002

MACHÁČEK, J., STUDNIČKA, J. Ocelové konstrukce 2, zatížení staveb dle Eurokódu, ČVUT Praha

MACHÁČEK, J., VRANÝ, T., SOKOL, Z. Navrhování ocelových konstrukcí, příručka k ČSN EN 1993-1-1 a ČSN EN 1993-1-8, ČKAIT 2009

SCIA Engineer 15 - 3D MKP výpočetní a dimenzační SW

Hilti PROFIS Anchor - SW pro návrh kotvení

MS Excel 2007

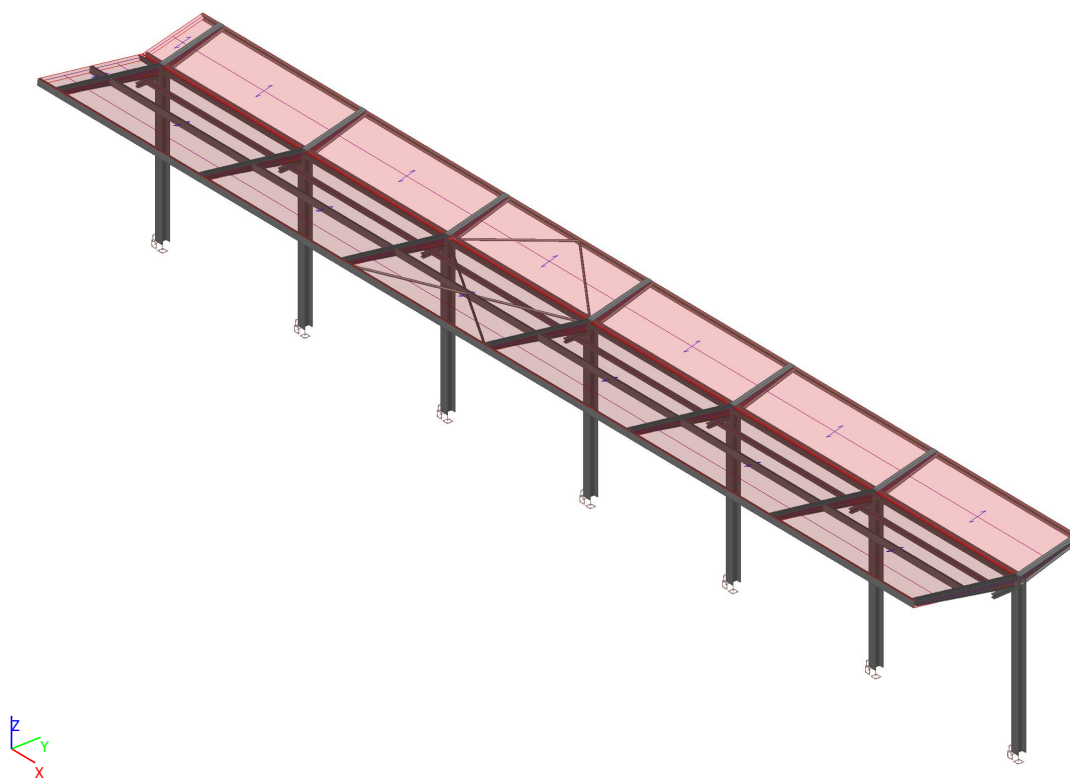
2. PROJEKČNÍ PODKLADY

- Výkresy architektonicko-stavebního řešení

3. PŘEDPOKLADY VÝPOČTU

Konstrukce je modelována pomocí prutových prvků a počítána metodou konečných prvků v programu SCIA Engineer 17.1.80. Byl proveden lineární výpočet. Posouzení prutů je provedeno dimenzačním modulem esasd.01.01 – Posouzení ocel – EN 1993.

4. 3D MODEL



5. POPIS KONSTRUKCE

Přístřešek pro elektrobusy má délku cca 111m a šířku 5,75m. Přístřešek má sedlovou střechu a je spádován do středu střechy, kde je umístěn žlab pro odtok vody. Nosný žlabový není spádován, spád žlabu bude realizován ve stavební části (klempířské výrobky).

Střecha je cca v 1/3 délky dilatována pomocí oválných otvorů ve šroubových spojích. K-ční provedení umožňuje tepelnou dilataci +/- 20mm.


Trapézový plech střechy TR50/250, $t=0,75\text{mm}$ je spojitě uložen na vaznicích, které jsou uloženy na hlavních příčlích rámu. Výška trapézového plechu je 50mm, tloušťka 0,75mm. Trapézový plech je pozinkovaný.

Střecha je ve své rovině zavětrovaná. Sloupky jsou kotvené pomocí lepených šroubů. Podlité je 30mm.

Stabilita konstrukce je zajištěna vetknutím sloupů do základů.

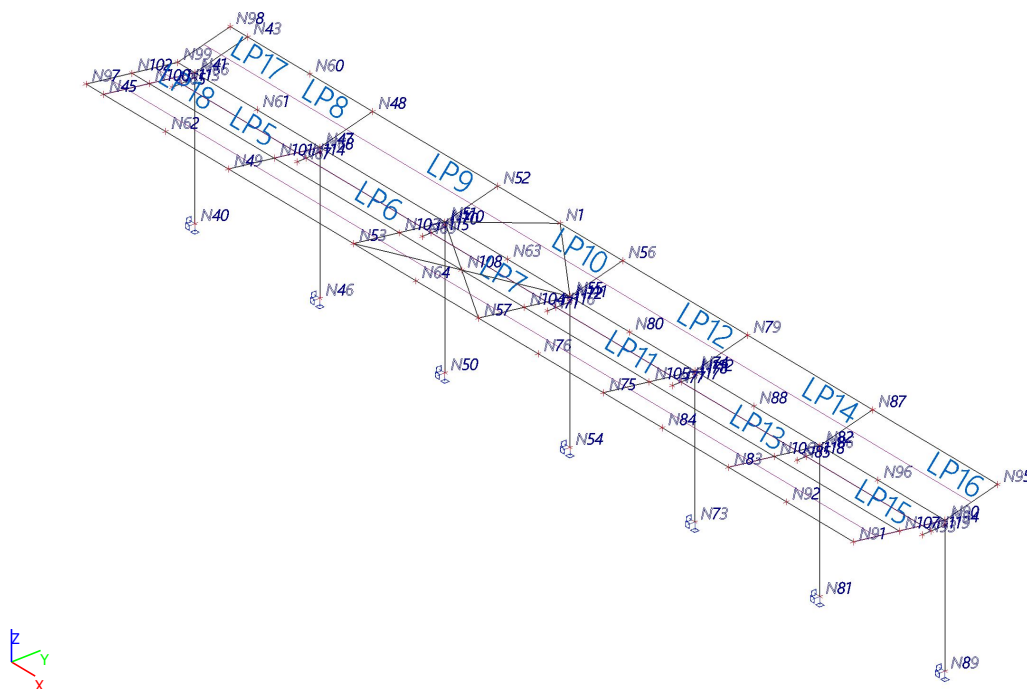
6. MATERIÁLY

Ocel EC3

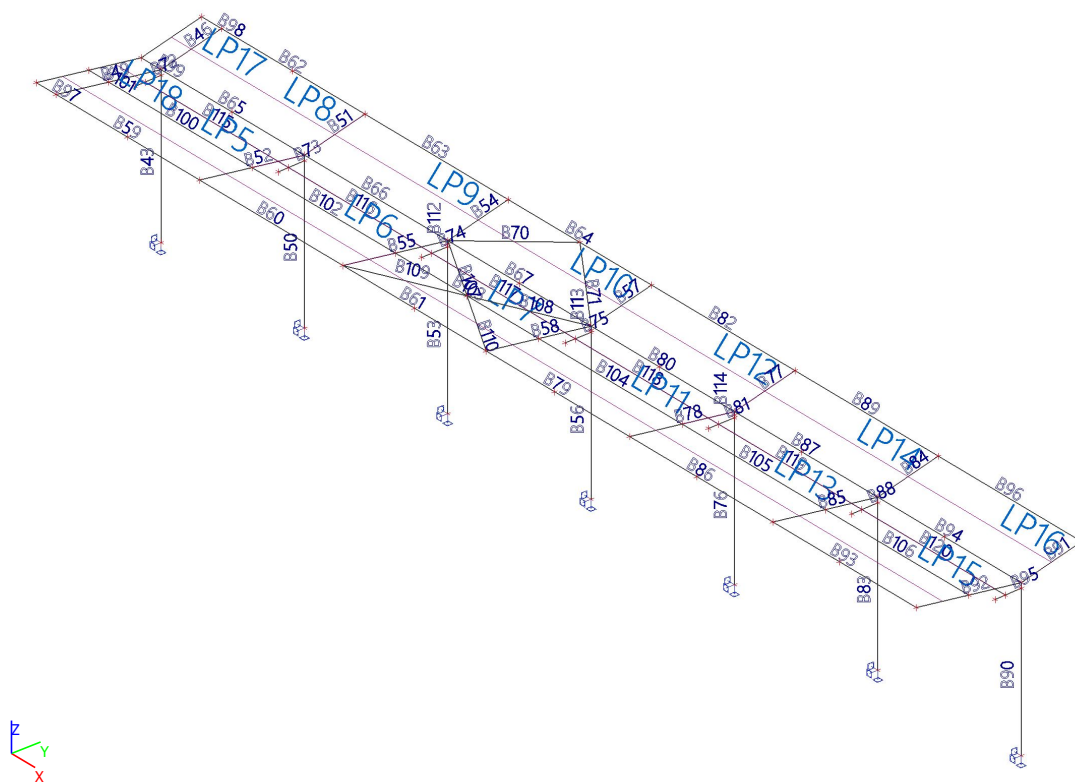
Jméno	ρ [kg/m ³]	E_{mod} [MPa] G_{mod} [MPa]	μ α [m/mK]	Dolní mez [mm]	Horní mez [mm]	F_y [MPa]	F_u [MPa]	Barva
S 235	7850,0	2,1000e+05 8,0769e+04	0.3 0,00	0 40	40 80	235,0 215,0	360,0 360,0	

7. KONSTRUKCE - GEOMETRIE

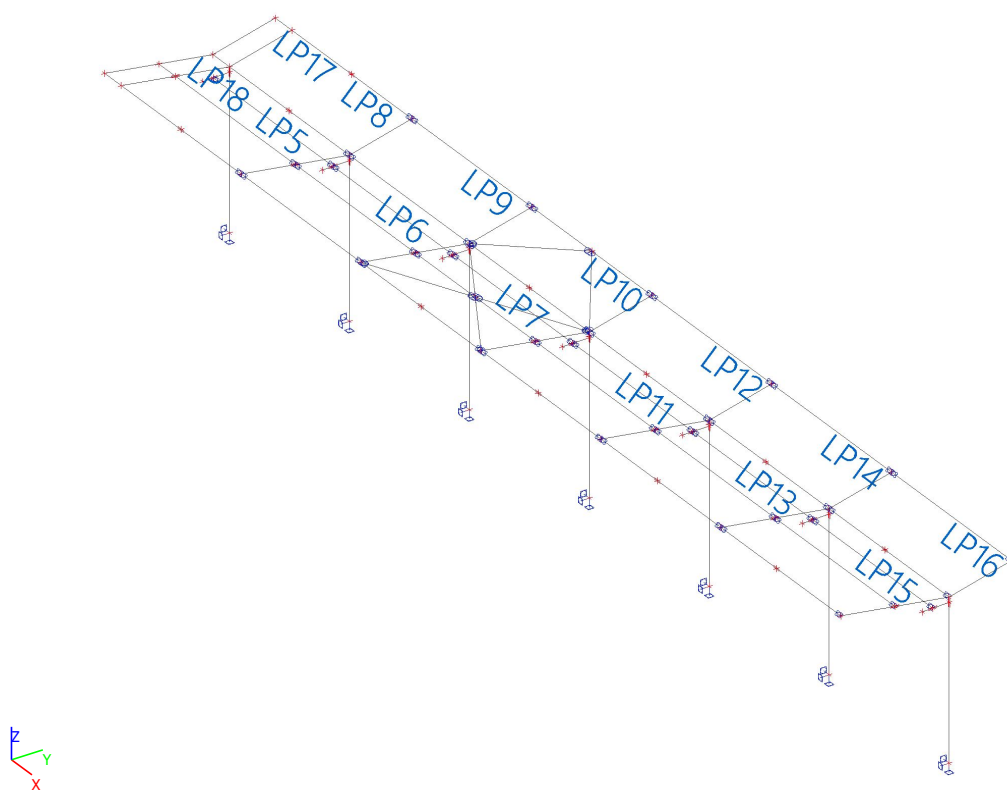
7.1. Číslo uzlů



7.2. Číslo prutů



7.3. Klouby



7.4. Podpory v uzlech

Jméno	Uzel	Systém	Typ	X	Y	Z	Rx	Ry	Rz
Sn16	N40	GSS	Standard	Tuhý	Tuhý	Tuhý	Tuhý	Tuhý	Tuhý
Sn17	N46	GSS	Standard	Tuhý	Tuhý	Tuhý	Tuhý	Tuhý	Tuhý
Sn18	N50	GSS	Standard	Tuhý	Tuhý	Tuhý	Tuhý	Tuhý	Tuhý
Sn19	N54	GSS	Standard	Tuhý	Tuhý	Tuhý	Tuhý	Tuhý	Tuhý
Sn20	N73	GSS	Standard	Tuhý	Tuhý	Tuhý	Tuhý	Tuhý	Tuhý
Sn21	N81	GSS	Standard	Tuhý	Tuhý	Tuhý	Tuhý	Tuhý	Tuhý
Sn22	N89	GSS	Standard	Tuhý	Tuhý	Tuhý	Tuhý	Tuhý	Tuhý

8. ZATÍŽENÍ

8.1. Určení zatížení

Zatížení

Zatížení stálé:

1. Vlastní tíha

Zatížení vlastní tíhou generuje program SciaEngineer 17.1

2. Trapézový plech

Pro tloušťku $t=0,88\text{mm}$ je hmotnost $q=0,85\text{ kg/m}^2$.

3. Technologie

S-E KTB035BC01 – 17kg

KTA 2000ER41 – 15kg

Kabely – přesah od konce kabelové lávky k technolog. Zařízením na délce cca 1,2m

Hmotnost 1 kabelu – 1,1kg/m

Počet kabelů - 20

$$m = 20 \cdot 1,1 \cdot 1,2 = 27\text{kg}$$

Technologie – celkem: $F=0,6\text{ kN}$

Zatížení nahodilé:

4. Zatížení sněhem

Ostrava, II sněhová oblast, $s_k = 1,0\text{ kN/m}^2$

$$s = \mu_i \cdot C_e \cdot C_t \cdot s_k = 0,8 \cdot 1,0 \cdot 1,0 \cdot 1,0 = 0,8\text{ kN/m}^2$$

μ_i tvarový součinitel zatížení sněhem (viz ČSN EN 1991-1-3, 5.3 a příloha B);

s_k charakteristická hodnota zatížení sněhem na zemi

C_e součinitel expozice;

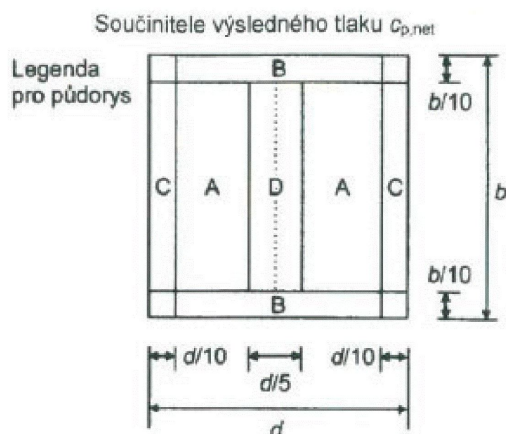
C_t tepelný součinitel.

5. Zatížení větrem

Ostrava, II větrová oblast

Určení statického zatížení větrem dle EC1 - Část 1.4: Obecná zatížení - Zatížení větrem			
Zadání vstupních údajů			
Zadej větrovou oblast (1-5)		2	
Výchozí základní rychlost větru	$v_{b,0}$	25	m/s
Zadej kategorii terénu dle tabulky 4.1 (0-4)		2	
Zadej součinitel směru větru (doporučená hodnota $c_{dir}=1,0$)	c_{dir}	1	
Zadej součinitel ročního období (doporučená hodnota $c_{season}=1,0$)	c_{season}	1	
Zadej součinitel orografie	$c_0(z)$	1	
Zadej výšku části konstrukce	z	6,4	m
Zadej součinitel turbulence (doporučená hodnota $k_i=1$)	k_i	1	
Tabulka 4.1 – Kategorie terénů a jejich parametry			
Kategorie terénu		z_0 [m]	z_{min} [m]
0 Moře nebo pobřežní oblasti vystavené otevřenému moři		0,003	1
I Jezera nebo vodorovné oblasti se zanedbatelnou vegetací a bez překážek		0,01	1
II Oblasti s nízkou vegetací jako je tráva a s izolovanými překážkami (stromy, budovy), jejichž vzdálenost je větší než 20násobek výšky překážek		0,05	2
III Oblasti rovnoměrně pokryté vegetací nebo budovami nebo s izolovanými překážkami, jejichž vzdálenost je maximálně 20násobek výšky překážek (jako jsou vesnice, předměstský terén, souvislý les)		0,3	5
IV Oblasti, ve kterých je nejméně 15 % povrchu pokryto pozemními stavbami, jejichž průměrná výška je větší než 15 m		1,0	10
POZNÁMKA Kategorie terénů jsou zobrazeny v A.1.			
Základní rychlost větru (4.1)	v_b	25	m/s
$v_b = c_{dir} \cdot c_{season} \cdot v_{b,0}$			
Drsnost terénu			
Parametr drsnosti terénu (Tab.4.1)	z_0	0,05	m
Minimální definovaná výška (Tab.4.1)	z_{min}	2	m
Součinitel terénu (4.5)	k_r	0,190	
Součinitel drsnosti (4.4)	$c_r(z)$	0,922	
$c_r(z) = k_r \cdot \ln\left(\frac{z}{z_0}\right) \quad k_r = 0,19 \cdot \left(\frac{z_0}{z_{0,II}}\right)^{0,07}$			
Střední rychlost větru (4.3)	$v_m(z)$	23,047	m/s
$v_m(z) = c_r(z) \cdot c_0(z) \cdot v_b$			
Směrodatná odchylka turbulence (4.6)	σ_v	4,750	m/s
Intenzita turbulence (4.7)	$I_v(z)$	0,206	
$\sigma_v = k_r \cdot v_b \cdot k_i \quad I_v(z) = \frac{\sigma_v}{v_m(z)}$			
Základní dynamický tlak větru (4.10)	q_b	0,3906	kN/m ²
Maximální dynamický tlak (4.8)	$q_p(z)$	0,8109	kN/m ²
$q_b = \frac{1}{2} \cdot \rho \cdot v_b^2 \quad q_p(z) = [1 + 7 \cdot I_v(z)] \cdot \frac{1}{2} \cdot \rho \cdot v_b^2(z)$			

Vítr na přístřešek se sedlovou střechou



$$\varphi = 0$$

$$\alpha_1 = -15^\circ$$

$$\alpha_2 = -8^\circ$$

$$d = 5700 \text{ mm}, b = 110522 \text{ mm}$$

Tabulka 7.7 – Hodnoty součinitelů $c_{p,net}$ a c_f pro sedlové přístřešky

Úhel sklonu střechy α	Součinitel plynosti φ	Součinitel celkové síly c_f	Součinitele výsledného tlaku $c_{p,net}$			
			Oblast A	Oblast B	Oblast C	Oblast D
- 15°	Maximum všech φ	+ 0,5	+ 0,6	+ 1,5	+ 0,7	+ 1,4
	Minimum $\varphi = 0$	- 0,6	- 0,8	- 1,3	- 1,6	- 0,6
	Minimum $\varphi = 1$	- 1,4	- 1,6	- 2,7	- 2,6	- 0,6

$$A : C_{p,net} = -0,8; \quad w = -0,8 \cdot 0,81 = -0,65 kN / m^2$$

$$C_{p,net} = +0,6; \quad w = 0,6 \cdot 0,81 = 0,49 kN / m^2$$

$$B : C_{p,net} = -1,3; \quad w = -1,3 \cdot 0,81 = -1,05 kN / m^2$$

$$C_{p,net} = +1,5; \quad w = 1,5 \cdot 0,81 = 1,22 kN / m^2$$

$$C : C_{p,net} = -1,6; \quad w = -1,6 \cdot 0,81 = -1,30 kN / m^2$$

$$C_{p,net} = +0,8; \quad w = 0,8 \cdot 0,81 = 0,65 kN / m^2$$

$$D : C_{p,net} = -0,6; \quad w = -0,6 \cdot 0,81 = -0,49 kN / m^2;$$

$$C_{p,net} = +1,4; \quad w = 1,4 \cdot 0,81 = 1,14 kN / m^2$$

Stanoviště obsazené autobusy. Součinitel plnosti – odhad:

$$\varphi = 0,5$$

$$A : C_{p,net} = -1,2; \quad w = -1,2 \cdot 0,81 = -0,97 kN / m^2$$

$$B : C_{p,net} = -2,0; \quad w = -2,0 \cdot 0,81 = -1,62 kN / m^2$$

$$C : C_{p,net} = -2,1; \quad w = -2,1 \cdot 0,81 = -1,70 kN / m^2$$

$$D : C_{p,net} = -0,6; \quad w = -0,6 \cdot 0,81 = -0,49 kN / m^2;$$

6. Užité zátížení střechy

Kategorie H – střechy nepřístupné s výjimkou běžné údržby a oprav

$$q_k = 0,5 kN / m^2$$

8.2. Zatěžovací stavy

Jméno	Popis Spec	Typ působení Typ zatížení	Skupina zatížení	Směr	Působení	Řídící zat. stav
ZS1	Vlastní tha	Stálé Vlastní tíha	SZ1	-Z		
ZS2	Stálé	Stálé Standard	SZ1			
ZS3	Technologie Standard	Proměnné Statické	SZ6 - TG		Krátkodobé	Žádný
ZS4	Sníh plný Standard	Proměnné Statické	SZ2 - Sníh		Krátkodobé	Žádný
ZS5	Sníh 1/2 - 1 Standard	Proměnné Statické	SZ2 - Sníh		Krátkodobé	Žádný
ZS6	Sníh 1/2 - 2 Standard	Proměnné Statické	SZ2 - Sníh		Krátkodobé	Žádný
ZS7	Vítr +x Standard	Proměnné Statické	SZ3 - Vítr		Krátkodobé	Žádný
ZS8	Vítr +y - 1 Standard	Proměnné Statické	SZ3 - Vítr		Krátkodobé	Žádný
ZS9	Vítr +y - 2 Standard	Proměnné Statické	SZ3 - Vítr		Krátkodobé	Žádný
ZS10	Vítr +y - 3 Standard	Proměnné Statické	SZ3 - Vítr		Krátkodobé	Žádný
ZS11	Vítr +y - 4 Standard	Proměnné Statické	SZ3 - Vítr		Krátkodobé	Žádný
ZS12	Vítr +y - 5 Standard	Proměnné Statické	SZ3 - Vítr		Krátkodobé	Žádný
ZS13	Vítr +y - 6 Standard	Proměnné Statické	SZ3 - Vítr		Krátkodobé	Žádný
ZS14	Vítr -y - 1 Standard	Proměnné Statické	SZ3 - Vítr		Krátkodobé	Žádný
ZS15	Vítr -y - 2 Standard	Proměnné Statické	SZ3 - Vítr		Krátkodobé	Žádný
ZS16	Vítr -y - 3 Standard	Proměnné Statické	SZ3 - Vítr		Krátkodobé	Žádný
ZS17	Vítr -y - 4 Standard	Proměnné Statické	SZ3 - Vítr		Krátkodobé	Žádný
ZS18	Vítr -y - 5 Standard	Proměnné Statické	SZ3 - Vítr		Krátkodobé	Žádný
ZS19	Vítr -y - 6 Standard	Proměnné Statické	SZ3 - Vítr		Krátkodobé	Žádný
ZS20	Užitné na střeše Standard	Proměnné Statické	SZ4 - Užitné		Krátkodobé	Žádný
ZS21	Teplota +30°C Teplota	Proměnné Statické	SZ5 - Teplota			Žádný
ZS22	Teplota -30°C Teplota	Proměnné Statické	SZ5 - Teplota			Žádný

8.3. Skupiny zatížení

Jméno	Zatížení	Vztah	Typ
SZ1	Stálé		
SZ2 - Sníh	Proměnné	Výběrová	Sníh
SZ3 - Vítr	Proměnné	Výběrová	Vítr
SZ4 - Užité	Proměnné	Standard	Kat H : střechy
SZ5 - Teplota	Proměnné	Výběrová	Teplota
SZ6 - TG	Proměnné	Standard	Kat E : sklady

8.4. Kombinace

Jméno	Popis	Typ	Zatěžovací stavy	Souč. [-]
CO1		EN-MSÚ (STR/GEO) Soubor B	ZS1 - Vlastní tha	1,00
			ZS2 - Stálé	1,00
			ZS3 - Technologie	1,00
			ZS4 - Sníh plný	1,00
			ZS5 - Sníh 1/2 - 1	1,00
			ZS6 - Sníh 1/2 - 2	1,00
			ZS7 - Vítr +x	1,00
			ZS8 - Vítr +y - 1	1,00
			ZS9 - Vítr +y - 2	1,00
			ZS10 - Vítr +y - 3	1,00
			ZS11 - Vítr +y - 4	1,00
			ZS12 - Vítr +y - 5	1,00
			ZS13 - Vítr +y - 6	1,00
			ZS14 - Vítr -y - 1	1,00
			ZS15 - Vítr -y - 2	1,00
			ZS16 - Vítr -y - 3	1,00
			ZS17 - Vítr -y - 4	1,00
			ZS18 - Vítr -y - 5	1,00
			ZS19 - Vítr -y - 6	1,00
			ZS20 - Užité na střeše	1,00
			ZS21 - Teplota +30°C	1,00
			ZS22 - Teplota -30°C	1,00
CO2		EN-MSP charakteristická	ZS1 - Vlastní tha	1,00
			ZS2 - Stálé	1,00
			ZS3 - Technologie	1,00
			ZS4 - Sníh plný	1,00
			ZS5 - Sníh 1/2 - 1	1,00
			ZS6 - Sníh 1/2 - 2	1,00
			ZS7 - Vítr +x	1,00
			ZS8 - Vítr +y - 1	1,00
			ZS9 - Vítr +y - 2	1,00
			ZS10 - Vítr +y - 3	1,00
			ZS11 - Vítr +y - 4	1,00
			ZS12 - Vítr +y - 5	1,00
			ZS13 - Vítr +y - 6	1,00
			ZS14 - Vítr -y - 1	1,00
			ZS15 - Vítr -y - 2	1,00
			ZS16 - Vítr -y - 3	1,00

Jméno	Popis	Typ	Zatěžovací stavy	Souč. [-]
			ZS17 - Vítr -y - 4	1,00
			ZS18 - Vítr -y - 5	1,00
			ZS19 - Vítr -y - 6	1,00
			ZS20 - Užité na střeše	1,00
			ZS21 - Teplota +30°C	1,00
			ZS22 - Teplota -30°C	1,00
CO3	Vítr - použitelnost	EN-MSP charakteristická	ZS7 - Vítr +x	1,00
			ZS8 - Vítr +y - 1	1,00
			ZS9 - Vítr +y - 2	1,00
			ZS10 - Vítr +y - 3	1,00
			ZS11 - Vítr +y - 4	1,00
			ZS12 - Vítr +y - 5	1,00
			ZS13 - Vítr +y - 6	1,00
			ZS14 - Vítr -y - 1	1,00
			ZS15 - Vítr -y - 2	1,00
			ZS16 - Vítr -y - 3	1,00
			ZS17 - Vítr -y - 4	1,00
			ZS18 - Vítr -y - 5	1,00
			ZS19 - Vítr -y - 6	1,00

8.5. Klíč kombinace

Klíč kombinace

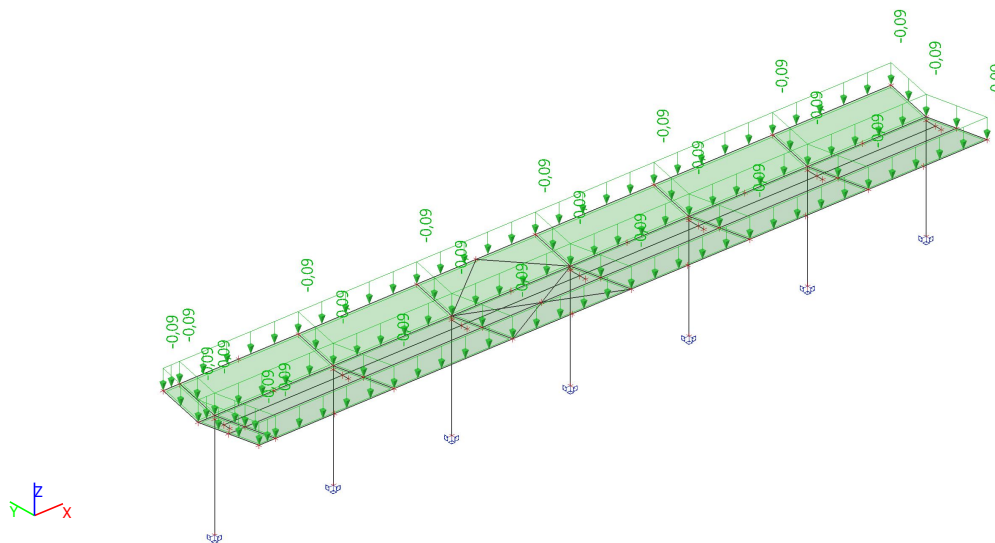
Jméno	Popis kombinací
1	ZS1*1,00 +ZS2*1,00 +ZS3*1,50 +ZS7*1,50 +ZS22*0,90
2	ZS1*1,15 +ZS2*1,15 +ZS4*0,75 +ZS11*0,90 +ZS21*1,50
3	ZS1*1,00 +ZS2*1,00 +ZS10*1,50 +ZS22*0,90
4	ZS1*1,15 +ZS2*1,15 +ZS3*1,50 +ZS4*0,75 +ZS15*1,50 +ZS21*0,90
5	ZS1*1,00 +ZS2*1,00 +ZS7*1,50 +ZS21*0,90
6	ZS1*1,15 +ZS2*1,15 +ZS3*1,50 +ZS4*1,50 +ZS17*0,90 +ZS22*0,90
7	ZS1*1,15 +ZS2*1,15 +ZS3*1,50 +ZS6*0,75 +ZS15*1,50 +ZS21*0,90
8	ZS1*1,15 +ZS2*1,15 +ZS3*1,50 +ZS4*0,75 +ZS17*0,90 +ZS21*1,50
9	ZS1*1,00 +ZS2*1,00 +ZS7*0,90 +ZS22*1,50
10	ZS1*1,00 +ZS2*1,00 +ZS10*0,90 +ZS22*1,50
11	ZS1*1,15 +ZS2*1,15 +ZS3*1,50 +ZS6*0,75 +ZS19*0,90 +ZS21*1,50
12	ZS1*1,00 +ZS2*1,00 +ZS5*0,75 +ZS7*0,90 +ZS21*1,50
13	ZS1*1,15 +ZS2*1,15 +ZS3*1,50 +ZS4*0,75 +ZS7*1,50 +ZS22*0,90
14	ZS1*1,15 +ZS2*1,15 +ZS3*1,50 +ZS4*0,75 +ZS17*1,50 +ZS22*0,90
15	ZS1*1,15 +ZS2*1,15 +ZS4*0,75 +ZS17*1,50 +ZS22*0,90
16	ZS1*1,15 +ZS2*1,15 +ZS4*1,50 +ZS17*0,90 +ZS22*0,90
17	ZS1*1,15 +ZS2*1,15 +ZS3*1,50 +ZS6*1,50 +ZS19*0,90 +ZS22*0,90
18	ZS1*1,15 +ZS2*1,15 +ZS3*1,50 +ZS6*1,50 +ZS19*0,90 +ZS21*0,90
19	ZS1*1,00 +ZS2*1,00 +ZS3*1,50 +ZS8*1,50 +ZS22*0,90
20	ZS1*1,15 +ZS2*1,15 +ZS3*1,50 +ZS4*0,75 +ZS7*1,50 +ZS21*0,90
21	ZS1*1,00 +ZS2*1,00 +ZS3*1,50 +ZS6*0,75 +ZS7*1,50 +ZS21*0,90
22	ZS1*1,15 +ZS2*1,15 +ZS4*0,75 +ZS8*1,50 +ZS21*0,90
23	ZS1*1,00 +ZS2*1,00 +ZS3*1,50 +ZS5*0,75 +ZS10*1,50 +ZS22*0,90
24	ZS1*1,35 +ZS2*1,35
25	ZS1*1,00 +ZS2*1,00 +ZS3*1,50 +ZS14*1,50 +ZS21*0,90

Jméno	Popis kombinací
26	ZS1*1,00 +ZS2*1,00 +ZS7*1,50 +ZS22*0,90
27	ZS1*1,00 +ZS2*1,00 +ZS3*1,50 +ZS6*0,75 +ZS15*1,50 +ZS21*0,90
28	ZS1*1,00 +ZS2*1,00 +ZS5*0,75 +ZS10*1,50 +ZS22*0,90
29	ZS1*1,15 +ZS2*1,15 +ZS4*0,75 +ZS7*1,50 +ZS21*0,90
30	ZS1*1,15 +ZS2*1,15 +ZS4*0,75 +ZS15*1,50 +ZS22*0,90
31	ZS1*1,00 +ZS2*1,00 +ZS10*1,50 +ZS21*0,90
32	ZS1*1,15 +ZS2*1,15 +ZS3*1,50 +ZS4*0,75 +ZS7*0,90 +ZS21*1,50
33	ZS1*1,15 +ZS2*1,15 +ZS5*0,75 +ZS7*0,90 +ZS22*1,50
34	ZS1*1,15 +ZS2*1,15 +ZS3*1,50 +ZS4*1,50 +ZS17*0,90 +ZS21*0,90
35	ZS1*1,15 +ZS2*1,15 +ZS4*1,50 +ZS11*0,90 +ZS21*0,90
36	ZS1*1,15 +ZS2*1,15 +ZS3*1,50 +ZS6*0,75 +ZS19*1,50 +ZS21*0,90
37	ZS1*1,15 +ZS2*1,15 +ZS3*1,50 +ZS4*1,50 +ZS11*0,90 +ZS22*0,90
38	ZS1*1,15 +ZS2*1,15 +ZS4*0,75 +ZS8*1,50 +ZS22*0,90
39	ZS1*1,00 +ZS2*1,00 +ZS17*0,90 +ZS21*1,50
40	ZS1*1,15 +ZS2*1,15 +ZS3*1,50 +ZS4*0,75 +ZS19*1,50 +ZS22*0,90
41	ZS1*1,15 +ZS2*1,15 +ZS5*0,75 +ZS10*1,50 +ZS21*0,90
42	ZS1*1,00 +ZS2*1,00 +ZS3*1,50 +ZS8*1,50 +ZS21*0,90
43	ZS1*1,15 +ZS2*1,15 +ZS3*1,50 +ZS4*0,75 +ZS15*1,50 +ZS22*0,90
44	ZS1*1,00 +ZS2*1,00 +ZS10*0,90 +ZS21*1,50
45	ZS1*1,15 +ZS2*1,15 +ZS3*1,50 +ZS4*0,75 +ZS19*0,90 +ZS22*1,50
46	ZS1*1,15 +ZS2*1,15 +ZS6*0,75 +ZS8*1,50 +ZS22*0,90
47	ZS1*1,35 +ZS2*1,35 +ZS3*1,50 +ZS4*0,75 +ZS19*0,90 +ZS21*0,90
48	ZS1*1,00 +ZS2*1,00 +ZS17*1,50 +ZS21*0,90
49	ZS1*1,15 +ZS2*1,15 +ZS3*1,50 +ZS6*0,75 +ZS7*1,50 +ZS22*0,90
50	ZS1*1,15 +ZS2*1,15 +ZS3*1,50 +ZS10*1,50 +ZS21*0,90
51	ZS1*1,15 +ZS2*1,15 +ZS3*1,50 +ZS4*0,75 +ZS19*0,90 +ZS21*1,50
52	ZS1*1,35 +ZS2*1,35 +ZS3*1,50 +ZS4*0,75 +ZS7*0,90 +ZS22*0,90
53	ZS1*1,35 +ZS2*1,35 +ZS3*1,50 +ZS8*0,90 +ZS21*0,90
54	ZS1*1,15 +ZS2*1,15 +ZS3*1,50 +ZS10*0,90 +ZS22*1,50
55	ZS1*1,35 +ZS2*1,35 +ZS3*1,50 +ZS4*0,75 +ZS8*0,90 +ZS22*0,90

8.6. Zatěžovací stavy

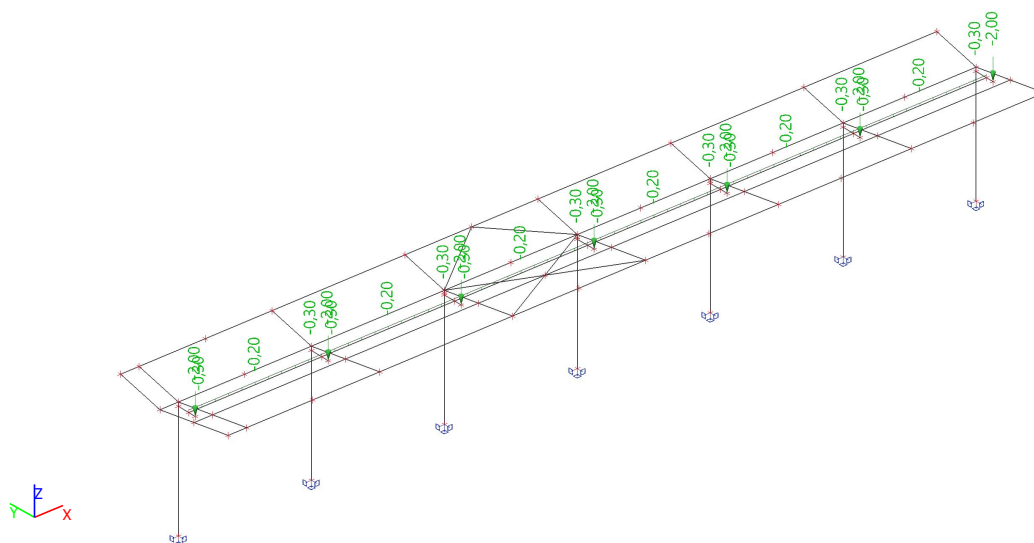
8.6.1. Zatěžovací stavy - ZS2

Jméno	Popis Spec	Typ působení Typ zatížení	Skupina zatížení
ZS2	Stálé	Stálé Standard	SZ1



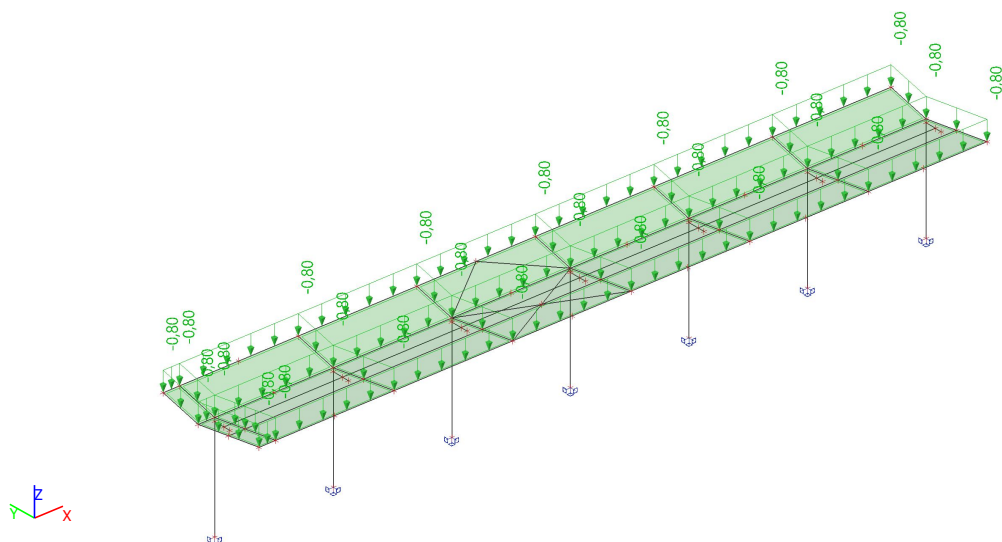
8.6.2. Zatěžovací stavy - ZS3

Jméno	Popis Spec	Typ působení Typ zatížení	Skupina zatížení	Působení	Řídící zat. stav
ZS3	Technologie Standard	Proměnné Statické	SZ6 - TG	Krátkodobé	Žádný



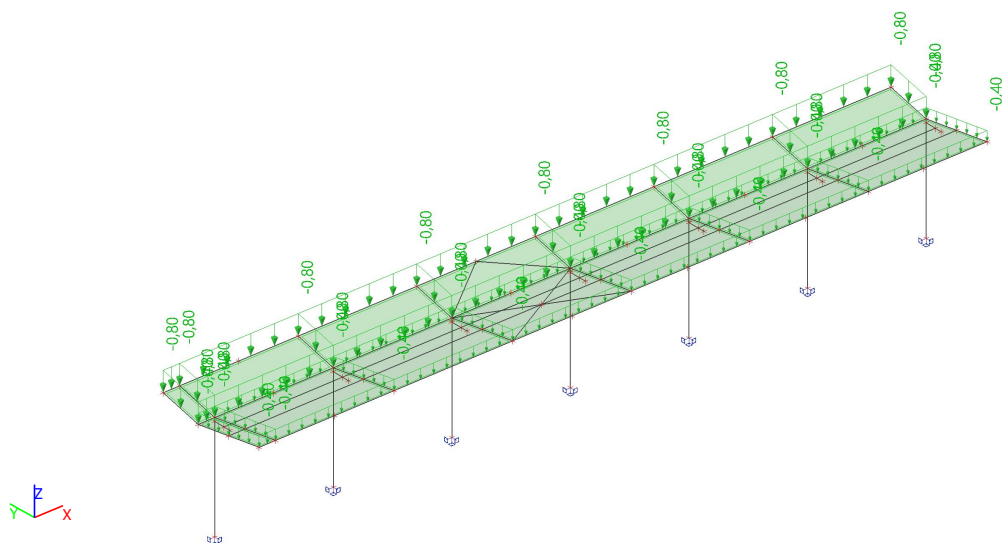
8.6.3. Zatěžovací stavy - ZS4

Jméno	Popis Spec	Typ působení Typ zatížení	Skupina zatížení	Působení	Řídící zat. stav
ZS4	Sníh plný Standard	Proměnné Statické	SZ2 - Sníh	Krátkodobé	Žádný



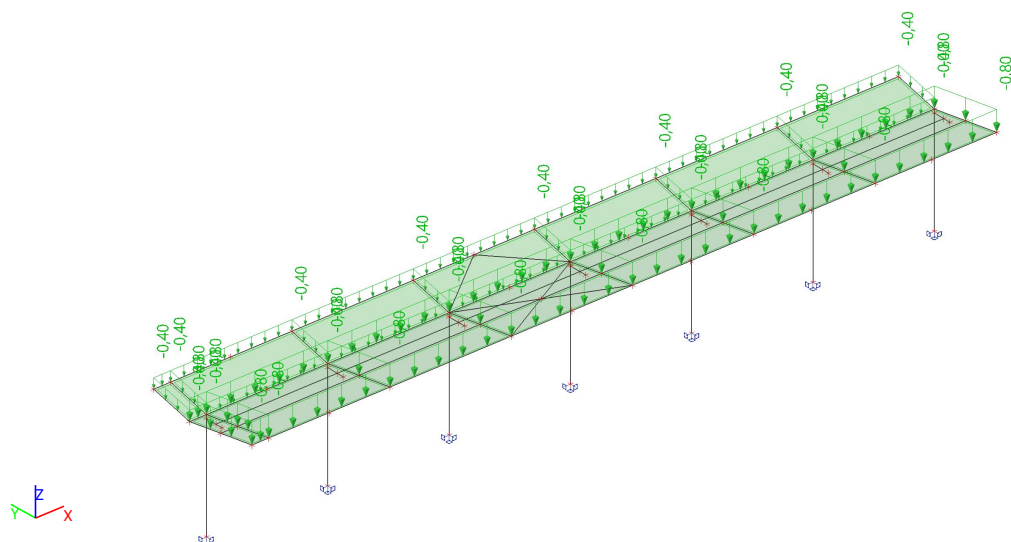
8.6.4. Zatěžovací stavy - ZS5

Jméno	Popis Spec	Typ působení Typ zatížení	Skupina zatížení	Působení	Řídící zat. stav
ZS5	Sníh 1/2 - 1 Standard	Proměnné Statické	SZ2 - Sníh	Krátkodobé	Žádný



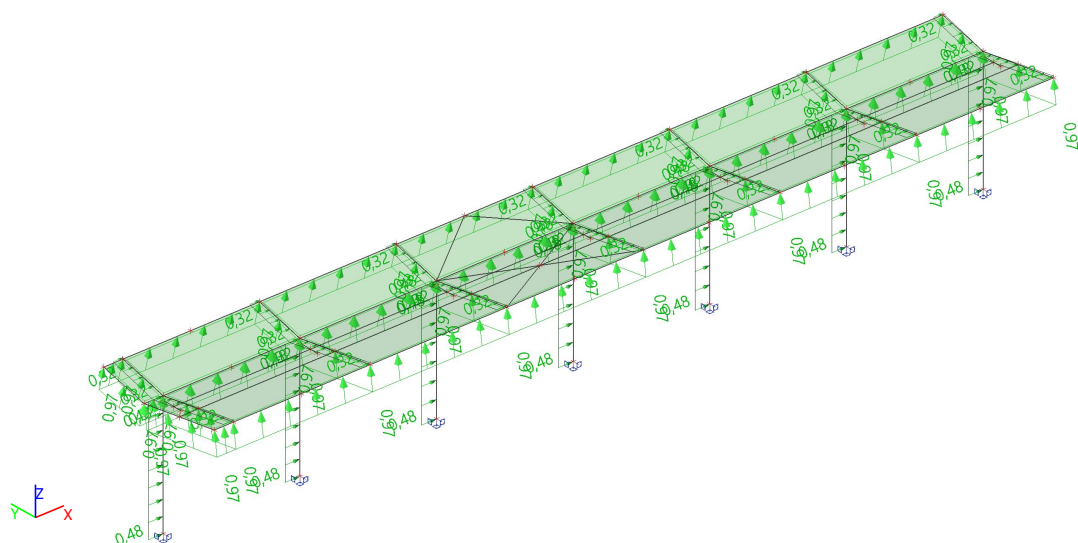
8.6.5. Zatěžovací stavy - ZS6

Jméno	Popis Spec	Typ působení Typ zatížení	Skupina zatížení	Působení	Řídící zat. stav
ZS6	Sníh 1/2 - 2 Standard	Proměnné Statické	SZ2 - Sníh	Krátkodobé	Žádný



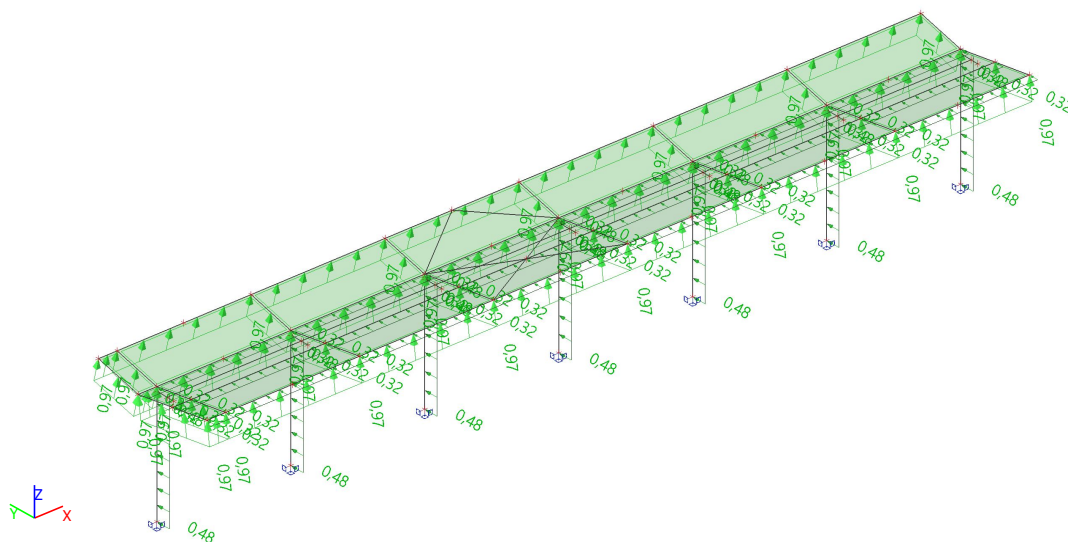
8.6.6. Zatěžovací stavy - ZS7

Jméno	Popis Spec	Typ působení Typ zatížení	Skupina zatížení	Působení	Řídící zat. stav
ZS7	Vítr +x Standard	Proměnné Statické	SZ3 - Vítr	Krátkodobé	Žádný



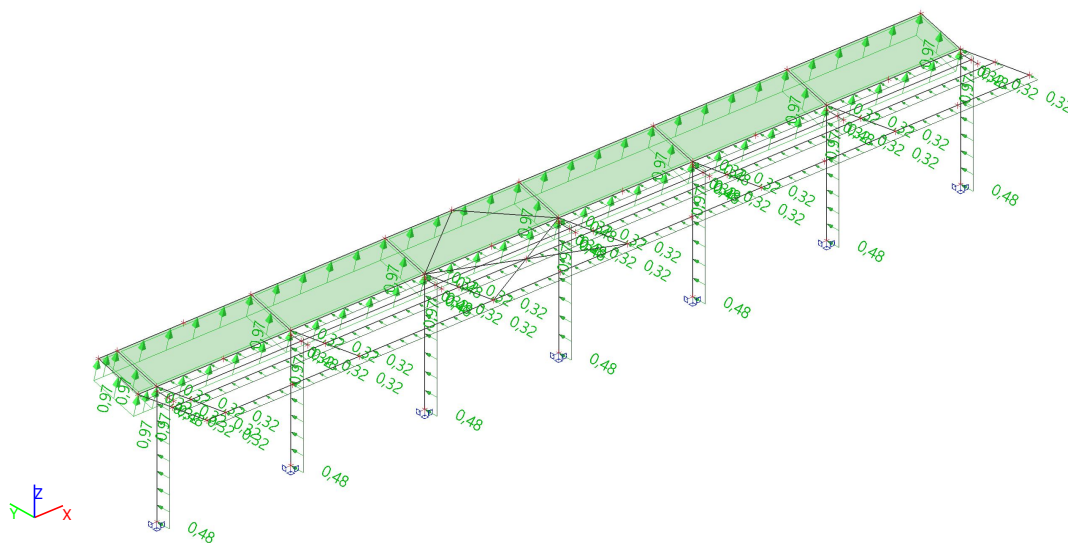
8.6.7. Zatěžovací stavy - ZS8

Jméno	Popis Spec	Typ působení Typ zatížení	Skupina zatížení	Působení	Řídící zat. stav
ZS8	Vítr +y - 1 Standard	Proměnné Statické	SZ3 - Vítr	Krátkodobé	Žádný



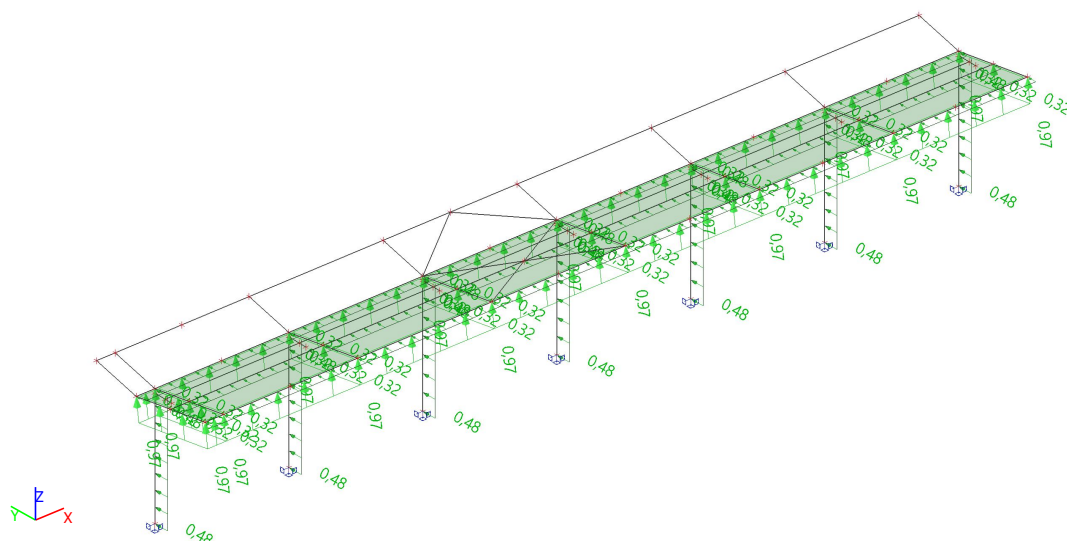
8.6.8. Zatěžovací stavy - ZS9

Jméno	Popis Spec	Typ působení Typ zatížení	Skupina zatížení	Působení	Řídící zat. stav
ZS9	Vítr +y - 2 Standard	Proměnné Statické	SZ3 - Vítr	Krátkodobé	Žádný



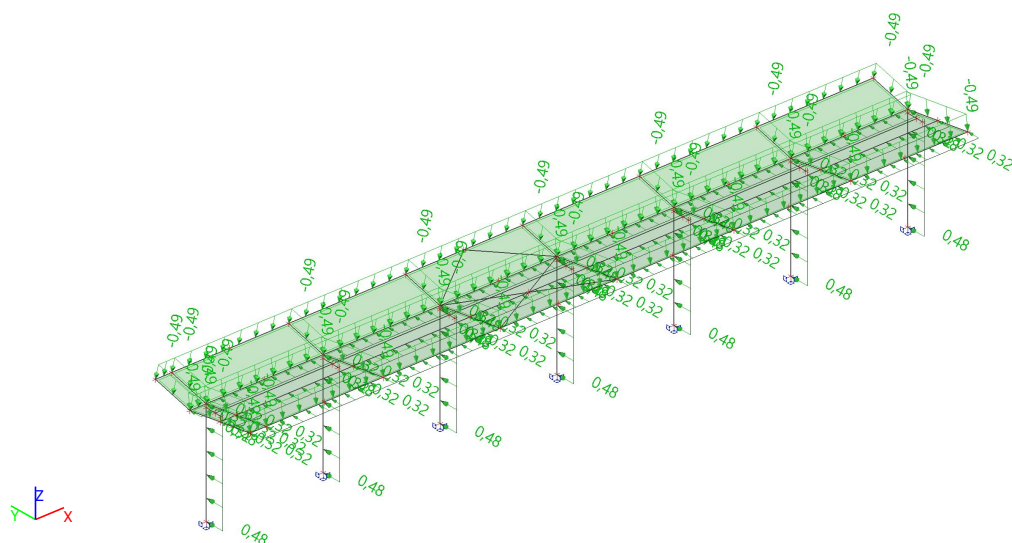
8.6.9. Zatěžovací stavy - ZS10

Jméno	Popis Spec	Typ působení Typ zatížení	Skupina zatížení	Působení	Řídící zat. stav
ZS10	Vítr +y - 3 Standard	Proměnné Statické	SZ3 - Vítr	Krátkodobé	Žádný



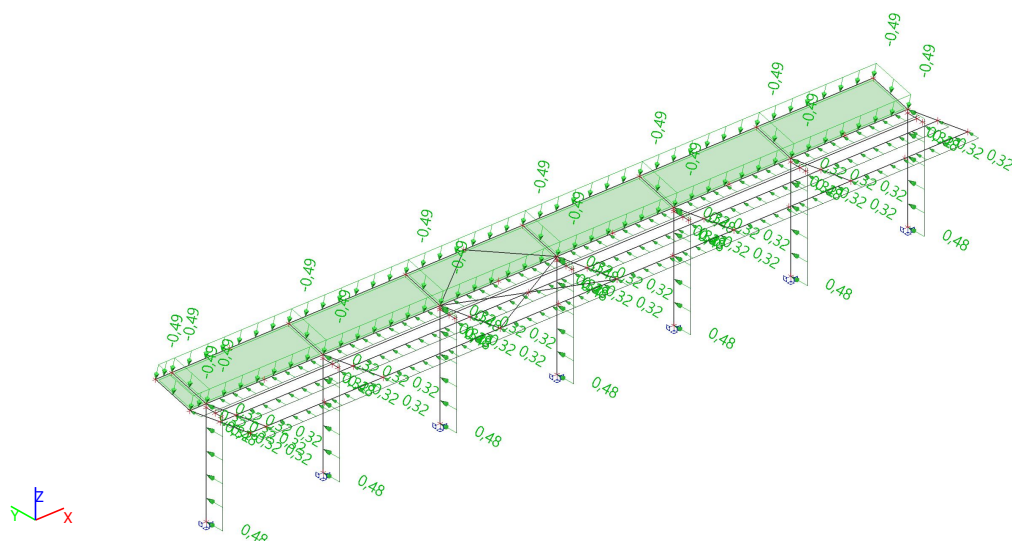
8.6.10. Zatěžovací stavy - ZS11

Jméno	Popis Spec	Typ působení Typ zatížení	Skupina zatížení	Působení	Řídící zat. stav
ZS11	Vítr +y - 4 Standard	Proměnné Statické	SZ3 - Vítr	Krátkodobé	Žádný



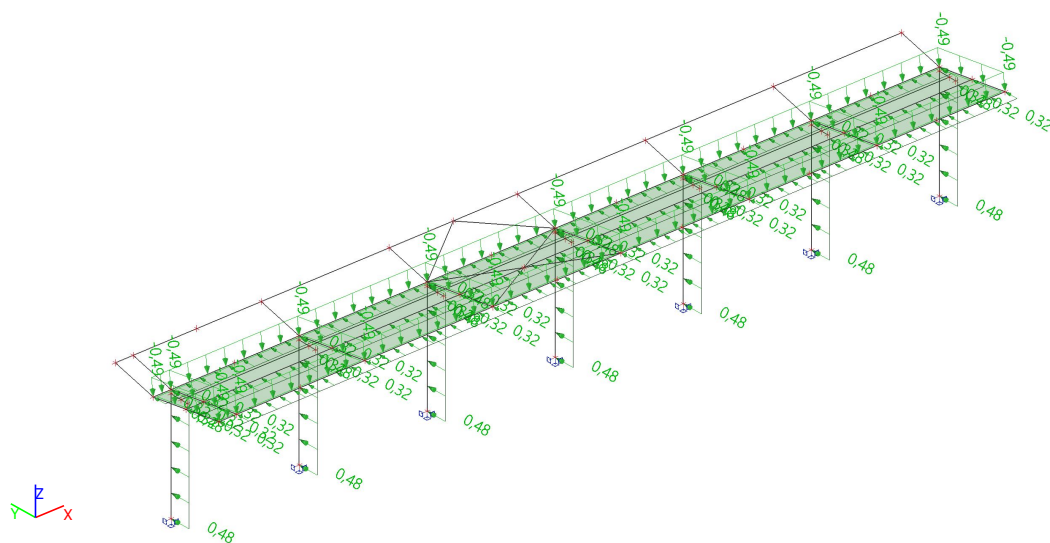
8.6.11. Zatěžovací stavy - ZS12

Jméno	Popis Spec	Typ působení Typ zatížení	Skupina zatížení	Působení	Řídící zat. stav
ZS12	Vítr +y - 5 Standard	Proměnné Statické	SZ3 - Vítr	Krátkodobé	Žádný



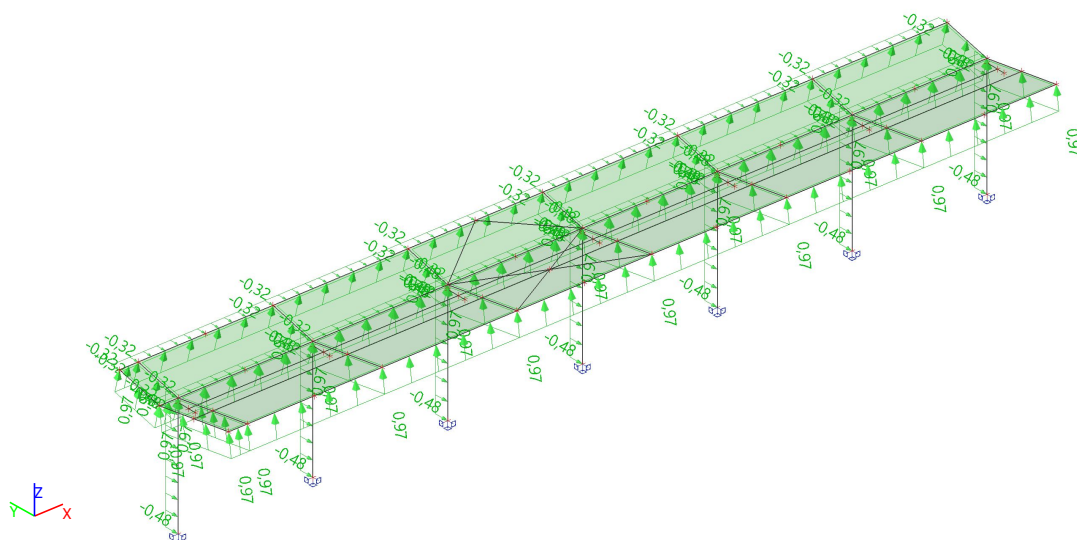
8.6.12. Zatěžovací stavy - ZS13

Jméno	Popis Spec	Typ působení Typ zatížení	Skupina zatížení	Působení	Řídící zat. stav
ZS13	Vítr +y - 6 Standard	Proměnné Statické	SZ3 - Vítr	Krátkodobé	Žádný



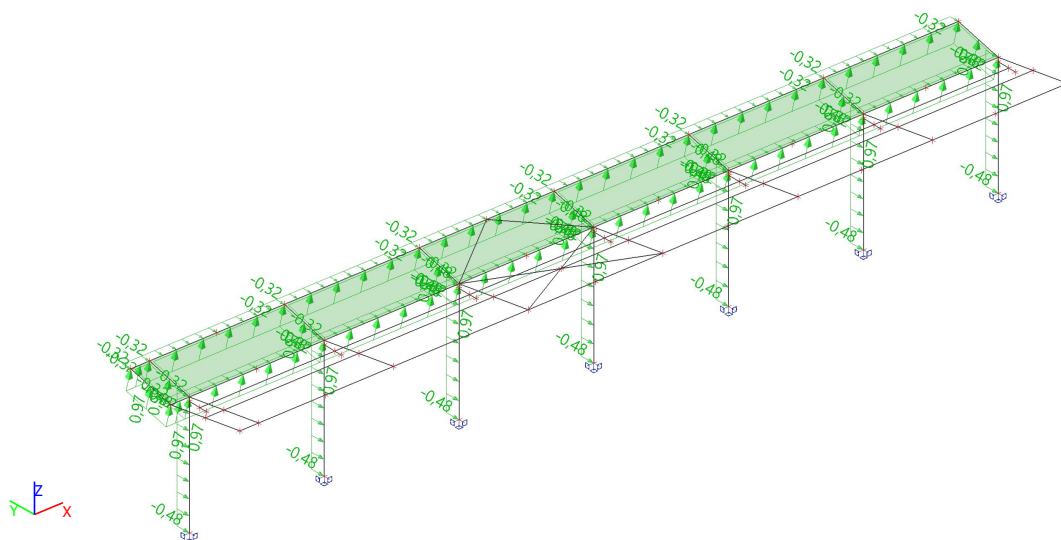
8.6.13. Zatěžovací stavy - ZS14

Jméno	Popis Spec	Typ působení Typ zatížení	Skupina zatížení	Působení	Řídící zat. stav
ZS14	Vítr -y - 1 Standard	Proměnné Statické	SZ3 - Vítr	Krátkodobé	Žádný



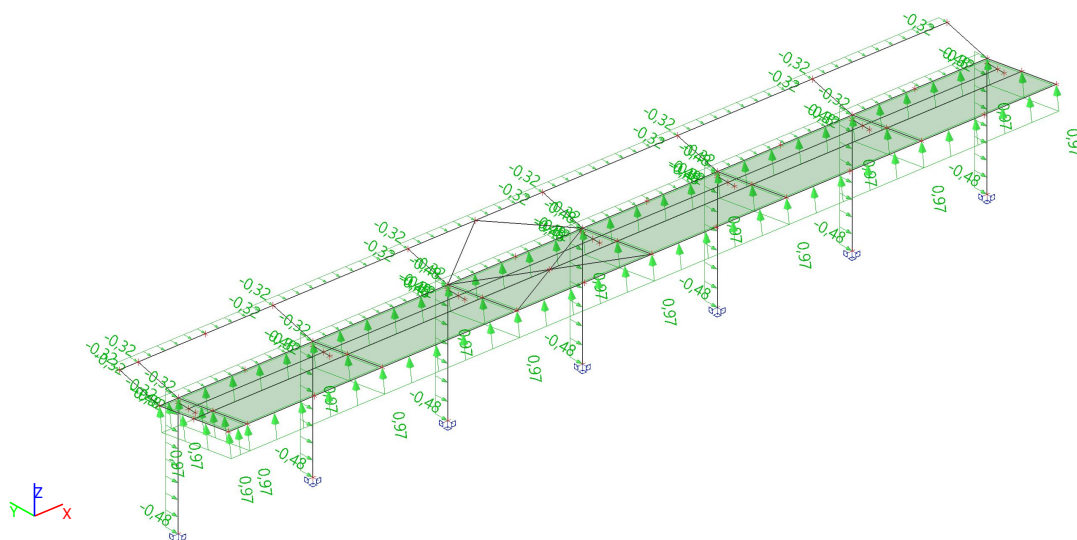
8.6.14. Zatěžovací stavy - ZS15

Jméno	Popis Spec	Typ působení Typ zatížení	Skupina zatížení	Působení	Řídící zat. stav
ZS15	Vítr -y - 2 Standard	Proměnné Statické	SZ3 - Vítr	Krátkodobé	Žádný



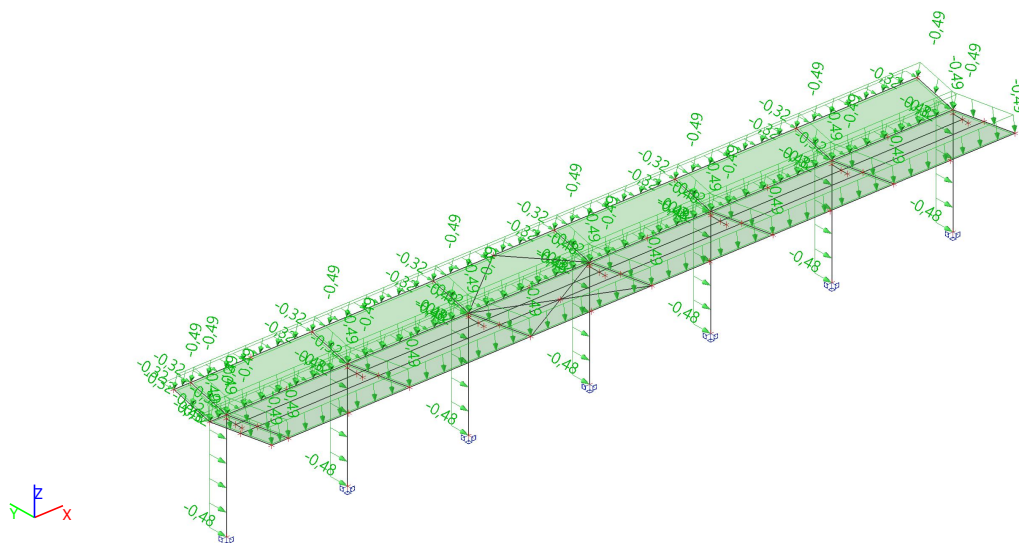
8.6.15. Zatěžovací stavy - ZS16

Jméno	Popis Spec	Typ působení Typ zatížení	Skupina zatížení	Působení	Řídící zat. stav
ZS16	Vítr -y - 3 Standard	Proměnné Statické	SZ3 - Vítr	Krátkodobé	Žádný



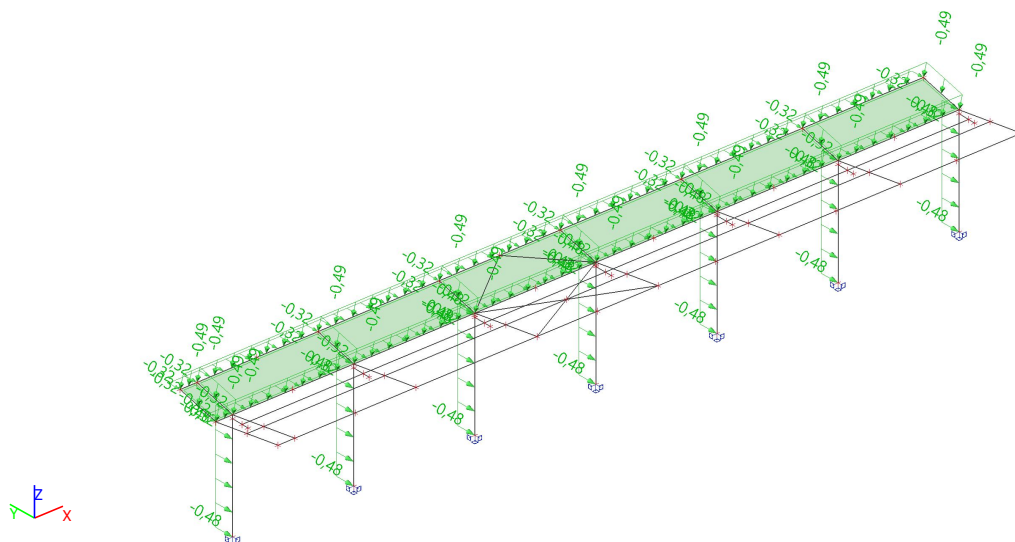
8.6.16. Zatěžovací stavy - ZS17

Jméno	Popis Spec	Typ působení Typ zatížení	Skupina zatížení	Působení	Řídící zat. stav
ZS17	Vítr -y - 4 Standard	Proměnné Statické	SZ3 - Vítr	Krátkodobé	Žádný



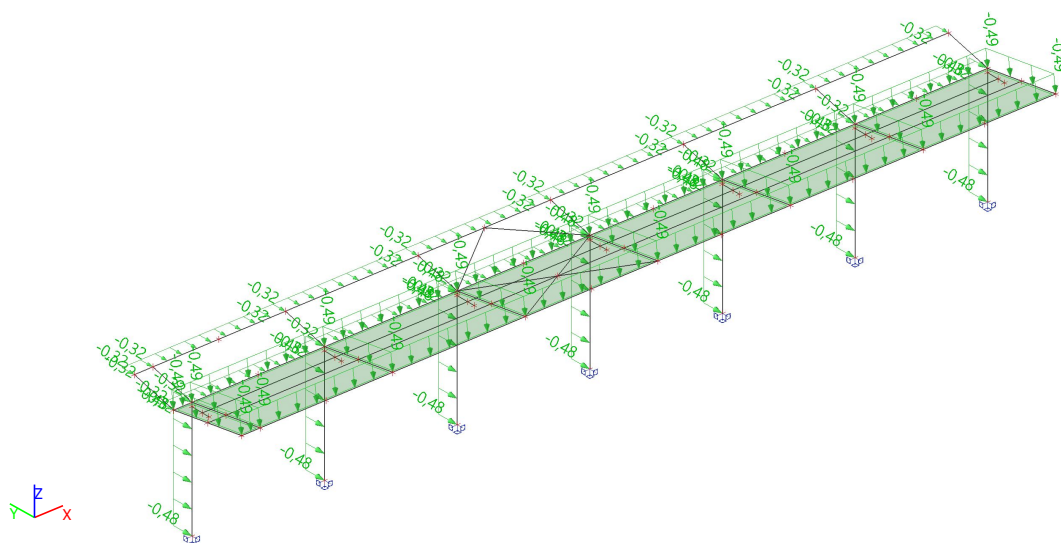
8.6.17. Zatěžovací stavy - ZS18

Jméno	Popis Spec	Typ působení Typ zatížení	Skupina zatížení	Působení	Řídící zat. stav
ZS18	Vítr -y - 5 Standard	Proměnné Statické	SZ3 - Vítr	Krátkodobé	Žádný



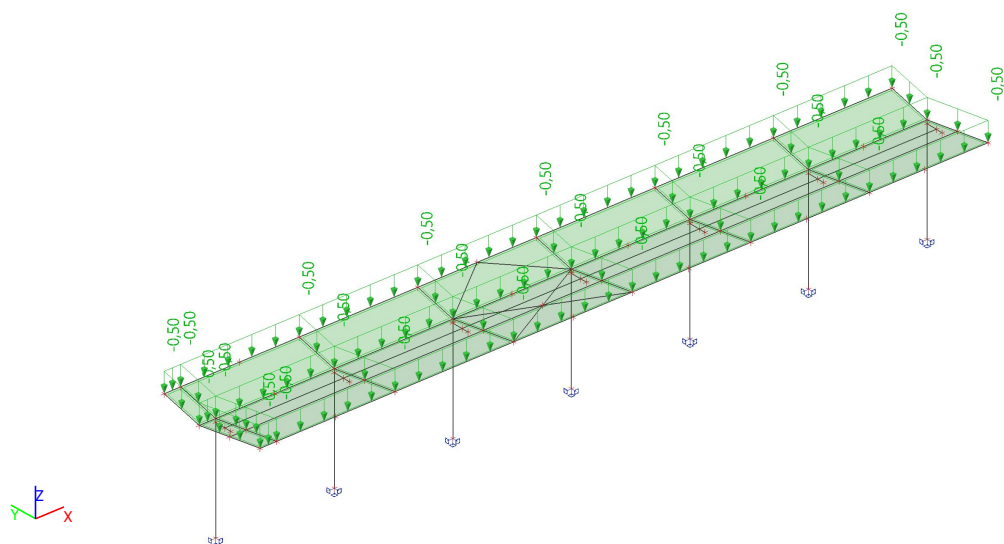
8.6.18. Zatěžovací stavy - ZS19

Jméno	Popis Spec	Typ působení Typ zatížení	Skupina zatížení	Působení	Řídící zat. stav
ZS19	Vítr -y - 6 Standard	Proměnné Statické	SZ3 - Vítr	Krátkodobé	Žádný



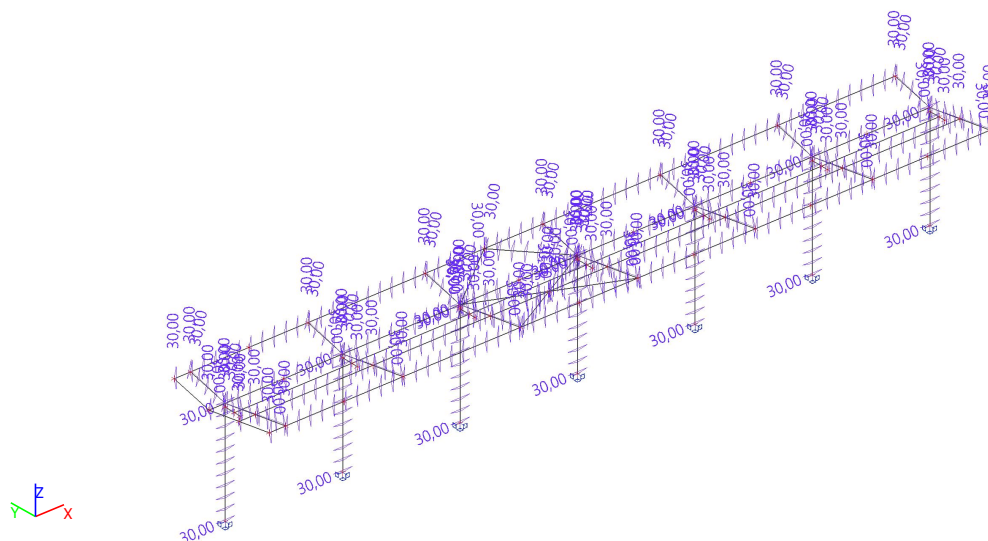
8.6.19. Zatěžovací stavy - ZS20

Jméno	Popis Spec	Typ působení Typ zatížení	Skupina zatížení	Působení	Řídící zat. stav
ZS20	Užitné na střeše	Proměnné	SZ4 - Užitné	Krátkodobé	Žádný
	Standard	Statické			



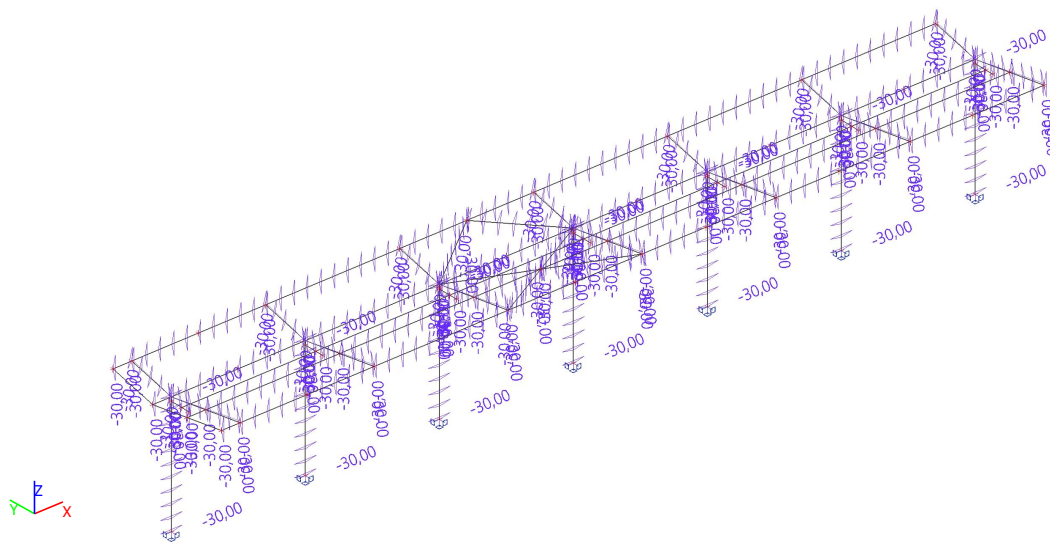
8.6.20. Zatěžovací stavy - ZS21

Jméno	Popis Spec	Typ působení Typ zatížení	Skupina zatížení	Řídící zat. stav
ZS21	Teplota +30°C	Proměnné	SZ5 - Teplota	Žádný
	Teplota	Statické		



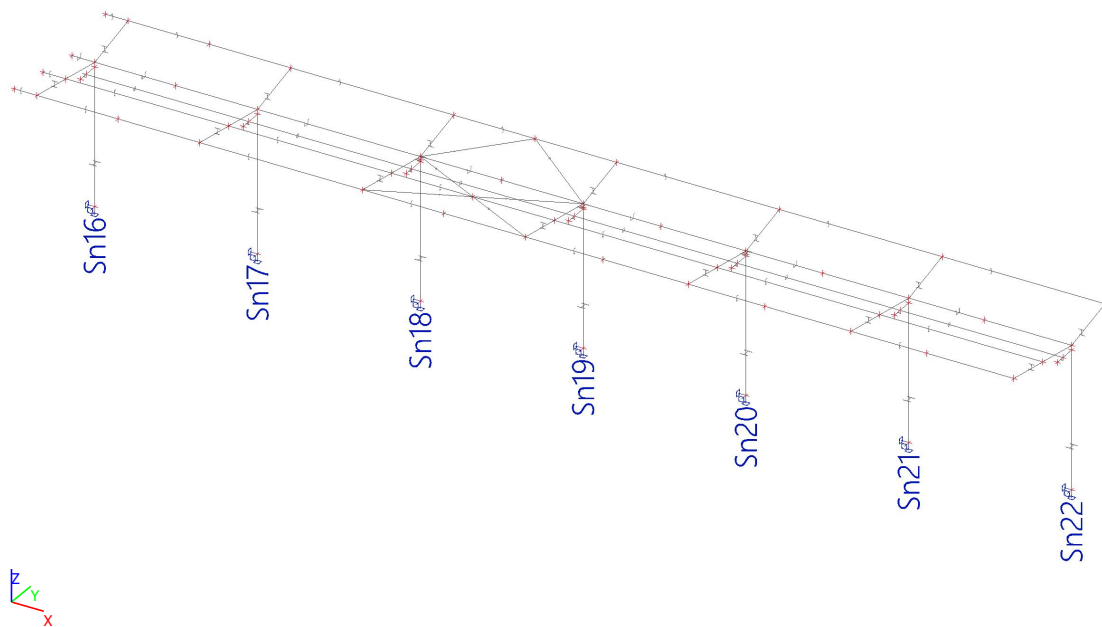
8.6.21. Zatěžovací stavy - ZS22

Jméno	Popis Spec	Typ působení Typ zatížení	Skupina zatížení	Řídící zat. stav
ZS22	Teplota -30°C	Proměnné	SZ5 - Teplota	Žádný
	Teplota	Statické		

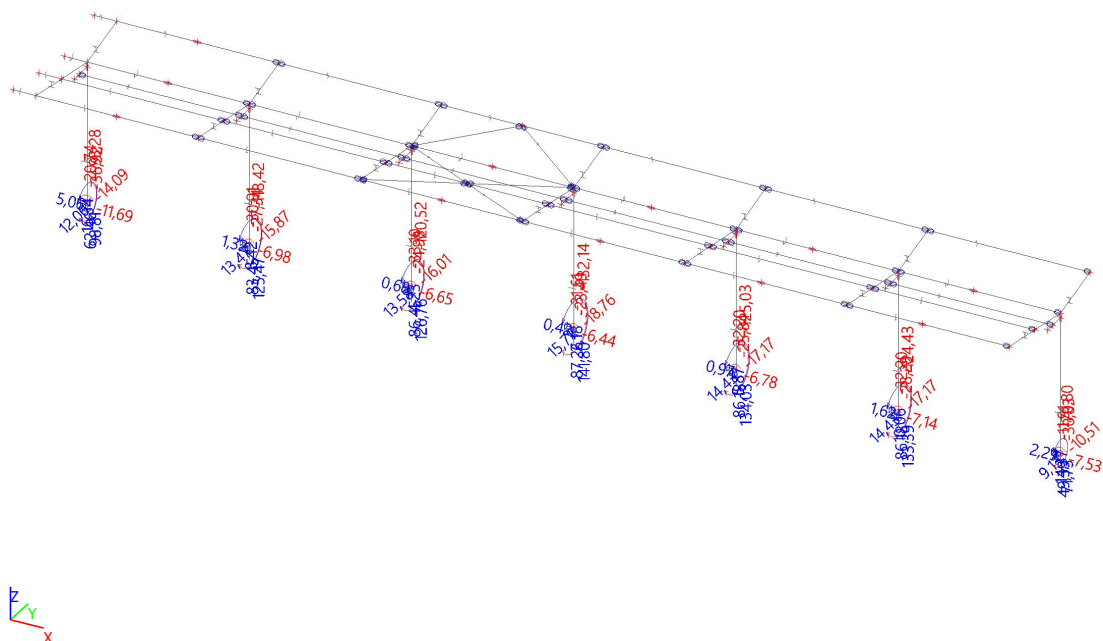


9. REAKCE

9.1. Číslo podpěr



9.2. Reakce; Rx, Ry, Rz, Mx, My



9.3. Reakce

Lineární výpočet, Extrém : Globální

Výběr : Vše

Kombinace : CO1

Podpora	Stav	Rx [kN]	Ry [kN]	Rz [kN]	Mx [kNm]	My [kNm]
Sn16/N40	CO1/1	-11,69	0,22	-16,21	13,94	-36,92
Sn16/N40	CO1/2	5,06	-5,80	43,53	-0,59	16,34
Sn19/N54	CO1/3	0,19	-18,76	-12,82	141,80	1,04
Sn19/N54	CO1/4	-0,11	15,71	31,41	-128,04	-0,64
Sn18/N50	CO1/5	-5,87	2,24	-33,10	17,46	-20,06
Sn19/N54	CO1/6	-0,43	6,30	87,26	-88,66	-2,20
Sn19/N54	CO1/7	-0,07	15,69	27,40	-132,14	-0,41

9.4. Kotvení - Hilti



www.hilti.com

Profis Anchor 2.8.0

Společnost:
Projektant:
Adresa:
Telefon I fax:
E-mail:

Strana: 1
Projekt:
Dílčí projekt / pozice č.:
Datum: 11.06.2021

Komentář uživatele:

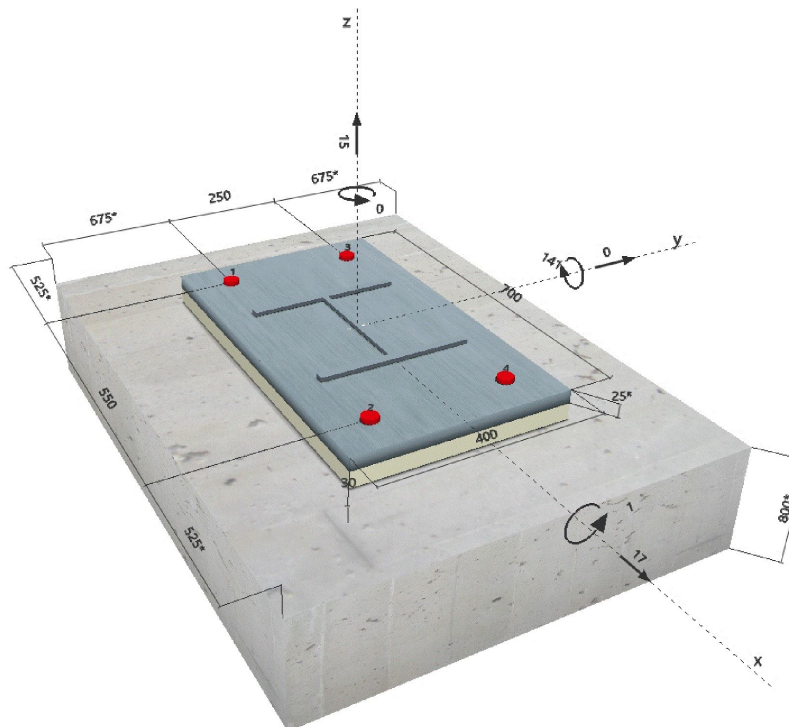
1 Vstupní data

Typ a velikost kotvy:	HIT-RE 500 V3 + HIT-V-F (8.8) M30
Efektivní kotvení hloubka:	$h_{ef,act} = 500 \text{ mm}$ ($h_{ef,limit} = - \text{mm}$)
Materiál:	8.8
Certifikát č.:	ETA 16/0143
Vydání I Platný:	12.07.2017 -
Posouzení:	Návrhová metoda ETAG BOND (EOTA TR 029)
Distanční montáž:	bez upnutí (kotva); stupeň zadržení (kotevní deska): 2,00; $e_b = 30 \text{ mm}$; $t = 25 \text{ mm}$
	Hilti malta: , víceúčelová, $f_{c,Grout} = 30,00 \text{ N/mm}^2$
Kotevní deska:	$l_x \times l_y \times t = 700 \text{ mm} \times 400 \text{ mm} \times 25 \text{ mm}$; (Doporučená tloušťka kotevní desky: nepočítána)
Profil:	IPB/HEB profil; ($V \times \bar{S} \times T \times T$) = $280 \text{ mm} \times 280 \text{ mm} \times 11 \text{ mm} \times 18 \text{ mm}$
Základní materiál:	bez trhlin beton, C25/30, $f_{c,cube} = 30,00 \text{ N/mm}^2$; $h = 800 \text{ mm}$, teplota krátkodobá/dlouhodobá: 40/24 °C
Montáž:	kotevní otvor vrtaný přiklepem, montážní podmínky: suché
Výztuž:	Žádná výztuž nebo osová vzdálenost výztuže $\geq 150 \text{ mm}$ (jakýkoliv \emptyset) nebo $\geq 100 \text{ mm}$ ($\emptyset \leq 10 \text{ mm}$)
	žádná podélná výztuž okraje



^R - Výpočet kotev je založen na předpokladě tuhé kotevní desky.

Geometrie [mm] & Zatížení [kN, kNm]



Je potřebné zkontrolovat shodu vstupních údajů se skutečnými podmínkami a přijatelnost výsledků.
PROFIS Anchor (c) 2003-2009 Hilti AG, FL-9494 Schaan Hilti je registrovaná obchodní značka společnosti Hilti AG, Schaan



www.hilti.com

Profis Anchor 2.8.0

Společnost:
Projektant:
Adresa:
Telefon I fax:
E-mail:

Strana: 2
Projekt:
Dílčí projekt / pozice č.:
Datum: 11.06.2021

1.1 Kombinace zatížení

Stav	Popis	Síly [kN] / Momenty [kNm]	Seismický	Požár	Max. využ. [%]
1	Kombinace 1	$V_x = 0,000; V_y = -13,000; N = 22,000;$ $M_x = 44,000; M_y = 18,000; M_z = 0,000;$	Ne	ne	45
2	Kombinace 2	$V_x = 16,500; V_y = 0,000; N = 14,000;$ $M_x = 1,000; M_y = 139,000; M_z = 0,000;$	Ne	ne	72
3	Kombinace 3	$V_x = 3,000; V_y = -7,000; N = 35,000;$ $M_x = 25,000; M_y = 18,000; M_z = 0,000;$	Ne	ne	30
4	Kombinace 4	$V_x = 17,000; V_y = 0,000; N = 15,000;$ $M_x = 1,000; M_y = 141,000; M_z = 0,000;$	Ne	ne	73

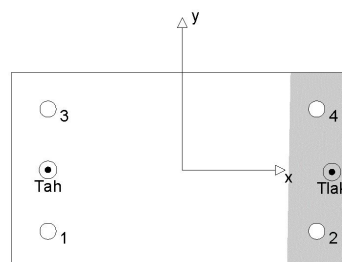
2 Zatěžovací stav/Výsledné síly v kotvách

Zatěžovací stav: Návrhové zatížení

Reakce v kotvách [kN]

Tahová síla: (+ Tah, - Tlak)

Kotva	Tahová síla	Smyková síla	Smyková síla x	Smyková síla y
1	124,705	4,250	4,250	0,000
2	0,000	4,250	4,250	0,000
3	125,847	4,250	4,250	0,000
4	0,000	4,250	4,250	0,000



max. tlakové přetvoření betonu: 0,31 [‰]
max. tlakové napětí v betonu: 9,19 [N/mm²]
výsledná tahová síla v (x/y)=(-275/1): 250,552 [kN]
výsledná tlaková síla v (x/y)=(306/-4): 235,552 [kN]

Síly na kotvu jsou vypočítané na základě předpokladu tuhé kotevní desky.

3 Tahové zatížení (EOTA TR 029, bod 5.2.2)

	Zatížení [kN]	Únosnost [kN]	Využití β_N [%]	Stav
Porušení oceli*	125,847	299,200	43	OK
Kombinované porušení vytažením - vytržením betonového kuželu**	250,552	546,765	46	OK
Porušení vytržením betonového kuželu**	250,552	345,871	73	OK
Porušení rozštěpením**	250,552	353,103	71	OK

* nejnepriznivější kotva ** skupina kotev (kotvy v tahu)

3.1 Porušení oceli

$N_{Rk,s}$ [kN]	$\gamma_{M,s}$	$N_{Rd,s}$ [kN]	N_{Sd} [kN]
448,800	1,500	299,200	125,847

3.2 Kombinované porušení vytažením - vytržením betonového kuželu

$A_{p,N}$ [mm ²]	$A_{p,N}^0$ [mm ²]	$\tau_{Rk,ucr,25}$ [N/mm ²]	$s_{cr,Np}$ [mm]	$c_{cr,Np}$ [mm]	c_{min} [mm]
821 484	624 000	13,00	790	395	525
ψ_c	$\tau_{Rk,ucr}$ [N/mm ²]	k	$\psi_{g,Np}^0$	$\psi_{g,Np}$	
1,018	13,24	3,200	1,000	1,000	
$e_{c1,N}$ [mm]	$\psi_{ec1,Np}$	$e_{c2,N}$ [mm]	$\psi_{ec2,Np}$	$\psi_{s,Np}$	$\psi_{re,Np}$
0	1,000	1	0,999	1,000	1,000
$N_{Rk,p}^0$ [kN]	$N_{Rk,p}$ [kN]	$\gamma_{M,p}$	$N_{Rd,p}$ [kN]	N_{Sd} [kN]	
623,882	820,148	1,500	546,765	250,552	

Je potřebné zkontrolovat shodu vstupních údajů se skutečnými podmínkami a přijatelnost výsledků.
PROFIS Anchor (c) 2003-2009 Hilti AG, FL-9494 Schaan Hilti je registrovaná obchodní značka společnosti Hilti AG, Schaan



www.hilti.com

Profis Anchor 2.8.0

Společnost:
Projektant:
Adresa:
Telefon i fax:
E-mail:

Strana: 3
Projekt:
Dílčí projekt / pozice č.:
Datum: 11.06.2021

3.3 Porušení vytržením betonového kuželu

$A_{c,N}$ [mm ²]	$A_{c,N}^0$ [mm ²]	$c_{cr,N}$ [mm]	$s_{cr,N}$ [mm]		
1 920 000	1 822 500	750	1 500		
h_{ef} [mm]	$c_{cr,N}^{'}$ [mm]	$s_{cr,N}^{'}$ [mm]			
450	675	1 350			
$e_{c1,N}$ [mm]	$\psi_{ec1,N}$	$e_{c2,N}$ [mm]	$\psi_{ec2,N}$	$\psi_{s,N}$	$\psi_{re,N}$
0	1,000	1	0,999	0,933	1,000
k_1	$N_{Rk,c}^0$ [kN]	$\gamma_{M,c}$	$N_{Rd,c}$ [kN]	N_{Sd} [kN]	
10,100	528,081	1,500	345,871	250,552	

3.4 Porušení rozštěpením

$A_{c,N}$ [mm ²]	$A_{c,N}^0$ [mm ²]	$c_{cr,sp}$ [mm]	$s_{cr,sp}$ [mm]	$\psi_{h,sp}$		
1 920 000	1 822 500	860	1 720	1,254		
h_{ef} [mm]	$c_{cr,sp}$ [mm]	$s_{cr,sp}$ [mm]				
392	675	1 350				
$e_{c1,N}$ [mm]	$\psi_{ec1,N}$	$e_{c2,N}$ [mm]	$\psi_{ec2,N}$	$\psi_{s,N}$	$\psi_{re,N}$	k_1
0	1,000	1	0,999	0,933	1,000	10,100
$N_{Rk,c}^0$ [kN]	$\gamma_{M,sp}$	$N_{Rd,sp}$ [kN]	N_{Sd} [kN]			
430,076	1,500	353,103	250,552			



www.hilti.com

Profis Anchor 2.8.0

Společnost:
Projektant:
Adresa:
Telefon I fax:
E-mail:

Strana: 4
Projekt:
Dílčí projekt / pozice č.:
Datum: 11.06.2021

4 Smykové zatížení (EOTA TR 029, bod 5.2.3)

	Zatížení [kN]	Únosnost [kN]	Využití β_v [%]	Stav
Porušení oceli (bez distanční montáže)*	Není k dispozici	Není k dispozici	Není k dispozici	Není k dispozici
Porušení oceli (s distanční montáží)*	4,250	29,007	15	OK
Porušení vylomením betonu**	17,000	923,100	2	OK
Porušení okraje betonu ve směru x+*	17,000	189,350	9	OK

* nejpříznivější kotva ** skupina kotev (rovnocenné kotvy)

4.1 Porušení oceli (s distanční montáží)

l [mm]	α_M			
58	2,00			
$N_{Sd} / N_{Rd,s}$	$1 - N_{Sd} / N_{Rd,s}$	$M_{RK,s}^0$ [kNm]	$M_{RK,s} = M_{RK,s}^0 (1 - N_{Sd} / N_{Rd,s})$ [kNm]	
0,421	0,579	1,799	1,042	
$V_{RK,s}^M = \alpha_M \cdot M_{RK,s} / l$ [kN]	$\gamma_{Ms,b,v}$	$V_{Rd,s}^M$ [kN]	V_{Sd} [kN]	
36,259	1,250	29,007	4,250	

4.2 Porušení vylomením betonu (relevantní k vytažení)

$A_{e,N}$ [mm ²]	$A_{e,N}^0$ [mm ²]	$c_{cr,N}$ [mm]	$s_{cr,N}$ [mm]	k-factor	k_1
2 560 000	1 822 500	750	1 500	2,000	10,100
h_{ef} [mm]	$c_{cr,N}$ [mm]	$s_{cr,N}$ [mm]			
450	675	1 350			
$e_{c1,v}$ [mm]	$\psi_{ec1,N}$	$e_{c2,v}$ [mm]	$\psi_{ec2,N}$	$\psi_{s,N}$	$\psi_{re,N}$
0	1,000	0	1,000	0,933	1,000
$N_{RK,c}^0$ [kN]	$\gamma_{M,c,p}$	$V_{Rd,cp}$ [kN]	V_{Sd} [kN]		
528,081	1,500	923,100	17,000		

4.3 Porušení okraje betonu ve směru x+

h_{ef} [mm]	d_{nom} [mm]	k_1	α	β	
360	30,0	2,400	0,083	0,056	
c_1 [mm]	$A_{c,v}$ [mm ²]	$A_{c,v}^0$ [mm ²]			
525	1 260 000	1 240 313			
$\psi_{s,v}$	$\psi_{h,v}$	$\psi_{a,v}$	$e_{c,v}$ [mm]	$\psi_{ec,v}$	$\psi_{re,v}$
0,957	1,000	1,000	0	1,000	1,000
$V_{RK,c}^0$ [kN]	$\gamma_{M,c}$	$V_{Rd,c}$ [kN]	V_{Sd} [kN]		
292,106	1,500	189,350	17,000		

5 Kombinace zatížení tah/smyk (EOTA TR 029, bod 5.2.4)

β_N	β_v	α	Využití $\beta_{N,v}$ [%]	Stav
0,724	0,147	1,500	68	OK

$\beta_N^w + \beta_v^v \leq 1,0$



www.hilti.com

Profis Anchor 2.8.0

Společnost:
Projektant:
Adresa:
Telefon I fax:
E-mail:

Strana: 5
Projekt:
Dílčí projekt / pozice č.:
Datum: 11.06.2021

6 Posuny (nejvíce zatížená kotva)

Krátkodobé teplotní zatížení:

$$\begin{aligned} N_{Sk} &= 0,000 \text{ [kN]} & \delta_N &= 0,000 \text{ [mm]} \\ V_{Sk} &= 6,296 \text{ [kN]} & \delta_V &= 0,189 \text{ [mm]} \\ & & \delta_{NV} &= 0,189 \text{ [mm]} \end{aligned}$$

Dlouhodobé teplotní zatížení:

$$\begin{aligned} N_{Sk} &= 0,000 \text{ [kN]} & \delta_N &= 0,000 \text{ [mm]} \\ V_{Sk} &= 6,296 \text{ [kN]} & \delta_V &= 0,315 \text{ [mm]} \\ & & \delta_{NV} &= 0,315 \text{ [mm]} \end{aligned}$$

Poznámka: Posuny vlivem tahové síly jsou platné při poloviční hodnotě předepsaného utahovacího momentu pro bez trhlin beton! Smykové posuny jsou platné za předpokladu žádného tření mezi betonem a kotevní deskou! Mezery mezi kotvou a vrtaným kotevním otvorem a mezery mezi kotvou a otvorem v kotevní desce nejsou v tomto výpočtu zahrnuty!

Přípustné posuny kotev závisí na připevňované konstrukci a musejí být definovány projektantem!

7 Upozornění

- Návrhové metody v PROFIS Anchor vyžadují dle současných předpisů (ETAG 001 / příloha C, EOTA TR029, atd.) tuhé kotevní desky. To znamená, že přerozdělení zatížení na jednotlivé kotvy, v důsledku pružné deformace kotevní desky, se neuvažuje - kotevní deska se považuje za dostatečně tuhou, aby nedošlo k její deformaci, když je podrobena návrhovému zatížení. PROFIS Anchor vypočítá pomocí MKP minimální potřebnou tloušťku kotevní desky tak, aby bylo omezeno napětí stres v kotevní desce na základě předpokladů viz výše. Důkaz, že je kotevní deska tuhá, PROFIS Anchor neprovádí. Vstupní údaje a výsledky se musí být kontrolovány v souladu se stávající úrovní podmínek a znalostí!
- Kontrolu přenosu zatížení do základního materiálu je požadováno provést v souladu s EOTA TR 029 část 7!
- Návrh je platný pouze v případě, když průměry otvorů pro kotvy v kotevní desce nejsou větší než je stanoveno v EOTA TR029, tabulka 4.1! Komentář ohledně větších otvorů je uveden v EOTA TR029, článek 1.1!
- Seznam příslušenství v tomto protokolu slouží pouze jako informace uživateli. V každém případě je třeba dodržovat návod k použití dodávaný s výrobkem, aby byla zajištěna správná instalace.
- Charakteristická pevnost lepicí hmoty (soudržnost) závisí na krátkodobých a dlouhodobých teplotách.
- Prosím kontaktujte Hilti pro ověření dostupnosti dodávky kotevních šroubů HIT-V.
- Okrajová výztuž není požadována pro zabránění porušení rozštěpením.

Upevnění je bezpečné!



www.hilti.com

Profis Anchor 2.8.0

Společnost:
Projektant:
Adresa:
Telefon / fax:
E-mail:

Strana: 6
Projekt:
Dílčí projekt / pozice č.:
Datum: 11.06.2021

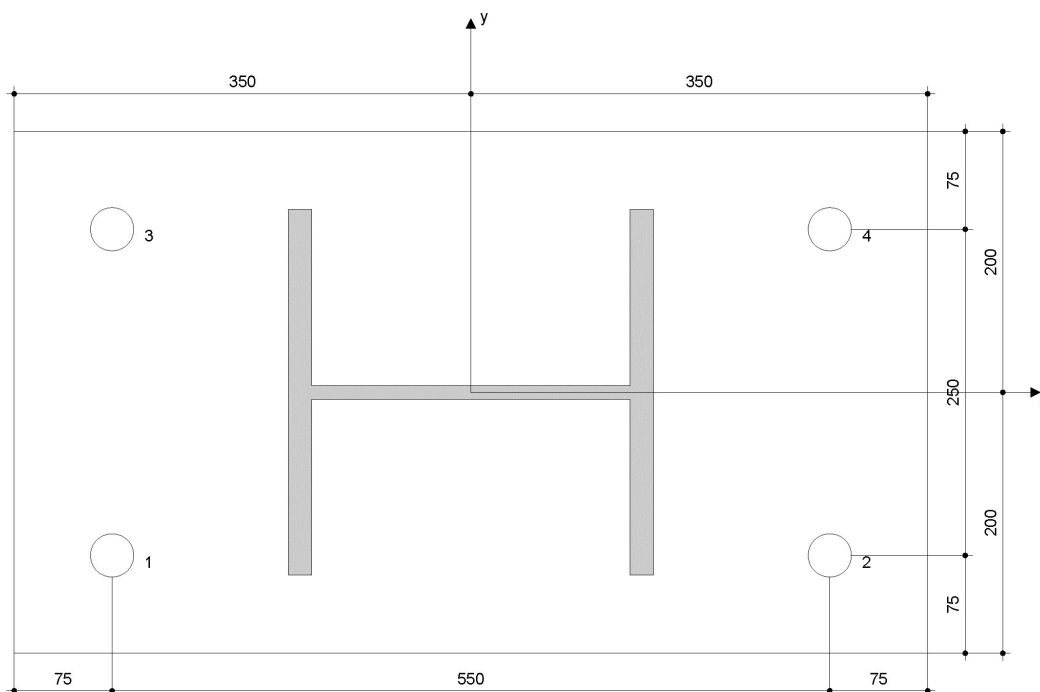
8 Montážní pokyny

Kotevní deska, ocel: -
Profil: IPB/HEB profil; 280 x 280 x 11 x 18 mm
Průměr otvoru v kotevní desce: $d_r = 33$ mm
Tloušťka kotevní desky (vstup): 25 mm
Doporučená tloušťka kotevní desky: nepočítána
Metoda vrtání: Vyvrtáno přiklepem
Čištění: Je požadováno kvalitní vyčištění kotevního otvoru

Typ a velikost kotvy: HIT-RE 500 V3 + HIT-V-F (8.8) M30
Utahovací moment: 0,300 kNm
Průměr otvoru v základním materiálu: 35 mm
Hloubka kotevního otvoru v základním materiálu: 500 mm
Minimální tloušťka základního materiálu: 570 mm

8.1 Doporučené příslušenství

Vrtání	Čištění	Osazení
<ul style="list-style-type: none"> Vhodná pro vrtací kladivo Vrták správného průměru 	<ul style="list-style-type: none"> Stlačený vzduch s požadovaným příslušenstvím pro vyfoukání kotevního otvoru ode dna Odpovídající průměr drátkového kartáče 	<ul style="list-style-type: none"> Výtláčovací přístroj včetně vodící kazety a směšovače Momentový klíč



Souřadnice kotev [mm]

Kotva	x	y	c_x	c_{+x}	c_y	c_{+y}
1	-275	-125	525	1 075	675	925
2	275	-125	1 075	525	675	925
3	-275	125	525	1 075	925	675
4	275	125	1 075	525	925	675

Je potřebné zkontrolovat shodu vstupních údajů se skutečnými podmínkami a přijatelnost výsledků.
PROFIS Anchor (c) 2003-2009 Hilti AG, FL-9494 Schaan Hilti je registrovaná obchodní značka společnosti Hilti AG, Schaan

9.5. Kotvení Idea Statica

Data projektu

Název projektu
Číslo projektu
Autor
Popis
Datum 11.06.2021
Norma EN

Materiál

Ocel S 235
Beton C20/25, C25/30

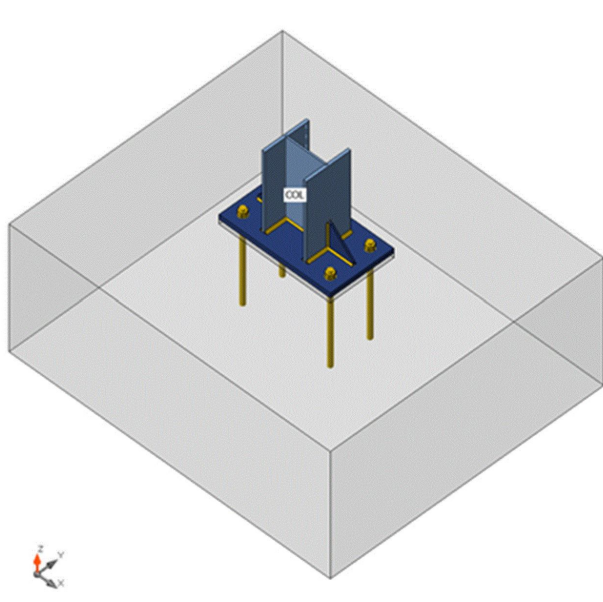
Položka projektu DPO Ostrava

Návrh

Název DPO Ostrava
Popis Přístřešek
Výpočet Napětí, přetvoření/ zjednodušené zatížení

Nosníky a sloupy

Název	Průřez	β - Směr [°]	γ - Sklon [°]	α - Pootočení [°]	Odsazení ex [mm]	Odsazení ey [mm]	Odsazení ez [mm]	Sily v
COL	2 - HEB280	0,0	-90,0	0,0	0	0	0	Uzel



Průřezy

Název	Materiál
2 - HEB280	S 235

Kotvy

Název	Sestava šroubů	Průměr [mm]	fu [MPa]	Plocha [mm²]
M30 8.8	M30 8.8	30	800,0	707

Účinky zatížení (rovnováha není požadována)

Název	Prvek	N [kN]	Vy [kN]	Vz [kN]	Mx [kNm]	My [kNm]	Mz [kNm]
LE1	COL	22,0	-13,0	0,0	0,0	18,0	-44,0
LE2	COL	14,0	0,0	-16,5	0,0	140,0	-1,0
LE3	COL	35,0	-7,0	-3,0	0,0	18,0	-25,0
LE4	COL	15,0	0,0	-17,0	0,0	141,0	-1,0

Betonová patka

Položka	Hodnota	Jednotka
CB 1		
Kóty	1720 x 2020	mm
Výška	800	mm
Kotva	M30 8.8	
Kotevní délka	500	mm
Přenos smykové síly	Kotevní šrouby	
Podlité	30	mm

Posudek

Souhrn

Název	Hodnota	Status
Výpočet	100,0%	OK
Plechý	$0,8 < 5,0\%$	OK
Kotvy	$79,2 < 100\%$	OK
Svary	$98,1 < 100\%$	OK
Betonový blok	$31,7 < 100\%$	OK
Boulení	Nespočteno	

Plechý

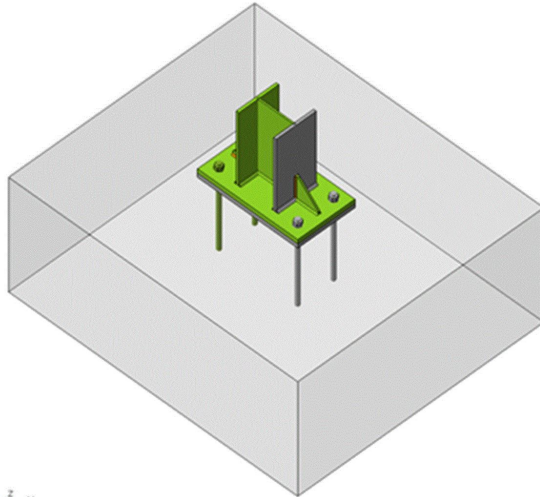
Název	Tloušťka [mm]	Zatížení	σ_{Ed} [MPa]	ϵ_{Pl} [%]	σ_{CEd} [MPa]	Status
COL-bf1 1	18,0	LE1	166,7	0,0	0,0	OK
COL-tf1 1	18,0	LE4	166,0	0,0	0,0	OK
COL-w 1	10,5	LE4	232,3	0,0	0,0	OK
BP1	30,0	LE4	235,0	0,0	0,0	OK
ŽEB1	12,0	LE4	234,6	0,2	0,0	OK
ŽEB2	12,0	LE4	236,6	0,8	0,0	OK

Návrhová data

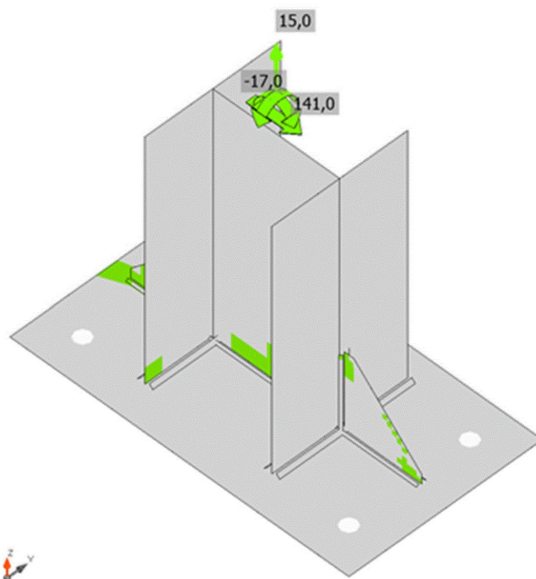
Materiál	f_y [MPa]	ϵ_{lim} [%]
S 235	235,0	5,0

Vysvětlení symbolů

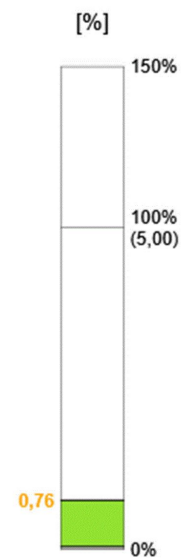
ϵ_{Pl}	Přetvoření
σ_{Ed}	Srovn. napětí
σ_{CEd}	Kontaktní napětí
f_y	Mez kluzu
ϵ_{lim}	Mezní plastické přetvoření

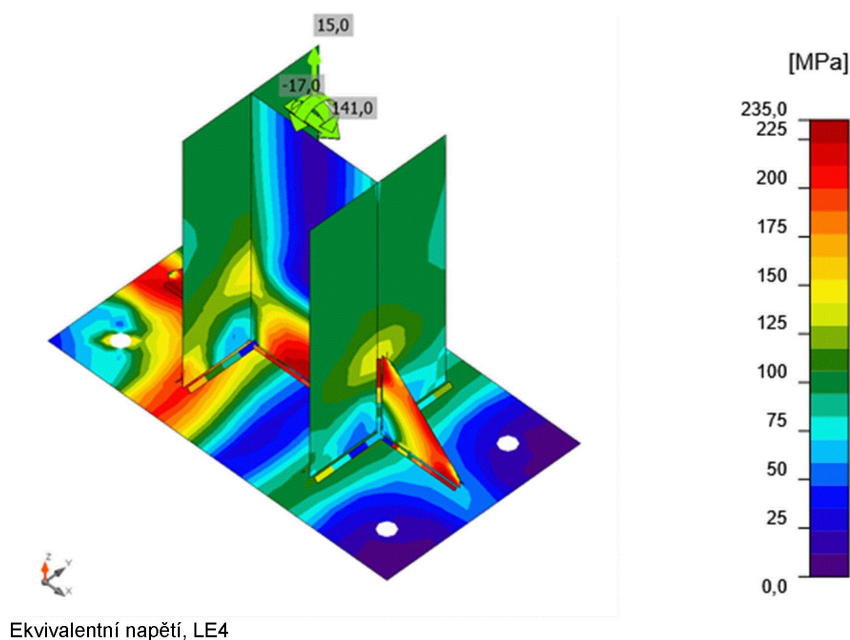


Souhrnný posudek, LE4



Posudek přetvoření, LE4





Kotvy

Tvar	Položka	Zatížení	N _{Ed} [kN]	V _{Ed} [kN]	N _{Rd,c} [kN]	V _{Rd,s} [kN]	V _{Rd,c} [kN]	V _{Rd,cp} [kN]	U _{tt} [%]	U _{ts} [%]	U _{ts} [%]	Status
	A1	LE4	154,2	4,8	386,8	18,9	-	895,2	79,2	25,4	70,7	OK
	A2	LE4	152,1	4,8	386,8	19,3	-	895,2	79,2	24,9	70,7	OK
	A3	LE1	72,1	3,5	303,3	34,4	-	895,2	65,9	10,3	53,7	OK
	A4	LE1	3,0	3,4	303,3	47,4	152,5	895,2	65,9	8,5	56,0	OK

Návrhová data

Třída	N _{Rd,s} [kN]
M30 8.8 - 1	254,3

Vysvětlení symbolů

N _{Ed}	Tahová síla
V _{Ed}	Výslednice smykových sil V _y , V _z ve šroubu.
N _{Rd,c}	Návrhová únosnost v případě selhání betonového kužele při zatížení tahem - EN1992-4 - Cl. 7.2.1.4
V _{Rd,s}	Návrhová únosnost ve smyku v případě selhání oceli - EN1992-4 - Cl. 7.2.2.3.2
V _{Rd,c}	Návrhová únosnost v případě selhání betonového kužele vlivem smykového zatížení - EN1992-4 - Cl. 7.2.2.5
V _{Rd,cp}	Návrhová únosnost v případě selhání na vylomení betonu - EN1992-4 - Cl. 7.2.2.4
U _{tt}	Využití v tahu
U _{ts}	Využití ve smyku
U _{ts}	Využití v tahu a smyku
N _{Rd,s}	Návrhová únosnost v tahu spojovacího prostředku v případě porušení oceli - EN1992-4 - Cl. 7.2.1.3

Svary (Plastická redistribuce)

Položka	Hrana	Účinná tl. [mm]	Délka [mm]	Zatížení	$\sigma_{w,Ed}$ [MPa]	ϵ_{PI} [%]	σ_{\perp} [MPa]	$\tau_{ }$ [MPa]	τ_{\perp} [MPa]	Ut [%]	Ute [%]	Status
BP1	COL-bfl 1	▲10,0▲	280	LE1	271,8	0,0	-97,2	101,7	-105,5	75,5	30,4	OK
		▲10,0▲	280	LE1	284,4	0,0	-109,0	-113,4	100,7	79,0	22,7	OK
BP1	COL-tfl 1	▲10,0▲	280	LE4	226,2	0,0	103,2	94,4	67,8	62,8	31,2	OK
		▲10,0▲	280	LE1	205,6	0,0	-75,1	-80,9	75,3	57,1	28,8	OK
BP1	COL-w 1	▲6,0▲	262	LE4	219,9	0,0	-35,6	120,2	-35,4	61,1	54,7	OK
		▲6,0▲	262	LE4	219,9	0,0	-35,4	-120,1	35,7	61,1	54,4	OK
BP1	ŽEB1	▲6,0▲	160	LE4	324,1	0,0	-139,3	98,9	-137,0	90,0	51,0	OK
		▲6,0▲	160	LE4	323,9	0,0	-136,9	-96,7	139,1	90,0	50,1	OK
COL-bfl 1	ŽEB1	▲6,0▲	160	LE4	352,9	0,0	-131,7	-135,9	-131,4	98,0	45,9	OK
		▲6,0▲	160	LE4	352,9	0,0	-131,5	135,7	131,6	98,0	46,0	OK
BP1	ŽEB2	▲6,0▲	160	LE4	353,0	0,2	153,7	-99,7	154,0	98,1	68,2	OK
		▲6,0▲	160	LE4	353,0	0,2	154,1	99,9	-153,8	98,1	67,5	OK
COL-tfl 1	ŽEB2	▲6,0▲	160	LE4	352,9	0,1	140,2	123,4	140,5	98,0	59,8	OK
		▲6,0▲	160	LE4	352,9	0,1	140,4	-123,6	-140,3	98,0	60,1	OK

Návrhová data

	β_w [-]	$\sigma_{w,Rd}$ [MPa]	0.9σ [MPa]
S 235	0,80	360,0	259,2

Vysvětlení symbolů

ϵ_{PI}	Přetvoření
$\sigma_{w,Ed}$	Ekvivalentní napětí
$\sigma_{w,Rd}$	Únosnost na srovnávací napětí
σ_{\perp}	Kolmé napětí
$\tau_{ }$	Smykové napětí rovnoběžné s osou svaru
τ_{\perp}	Smykové napětí kolmé k ose svaru
0.9σ	Únosnost na kolmé napětí - $0.9 \cdot f_u / \gamma_{M2}$
β_w	Součinitel korelace podle EN 1993-1-8 tab. 4.1
Ut	Využití
Ute	Využití únosnosti svaru

Betonový blok

Položka	Zatížení	c [mm]	A_{eff} [mm ²]	σ [MPa]	k_j [-]	F_{jd} [MPa]	Ut [%]	Status
CB 1	LE1	46	18342	10,6	3,00	33,5	31,7	OK

Vysvětlení symbolů

c	Šířka uložení
A_{eff}	Účinná plocha
σ	Průměrné napětí v betonu
k_j	Součinitel koncentrace
F_{jd}	Mezní únosnost betonové patky v otláčení
Ut	Využití

Boulení

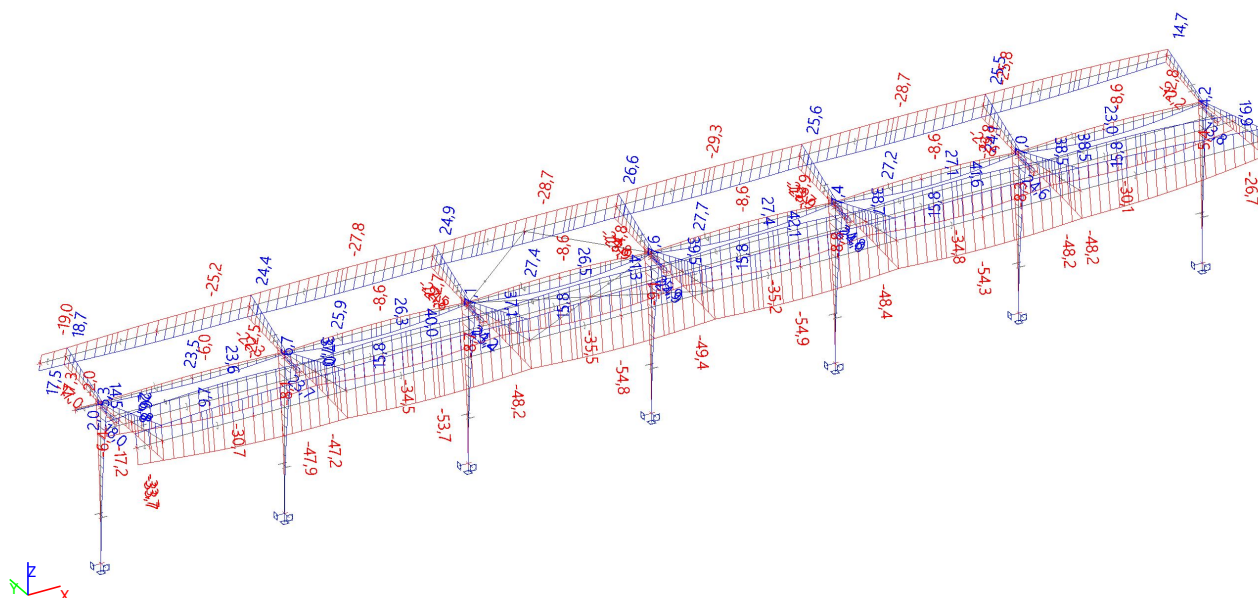
Analýza boulení nebyla provedena.

Nastavení normy

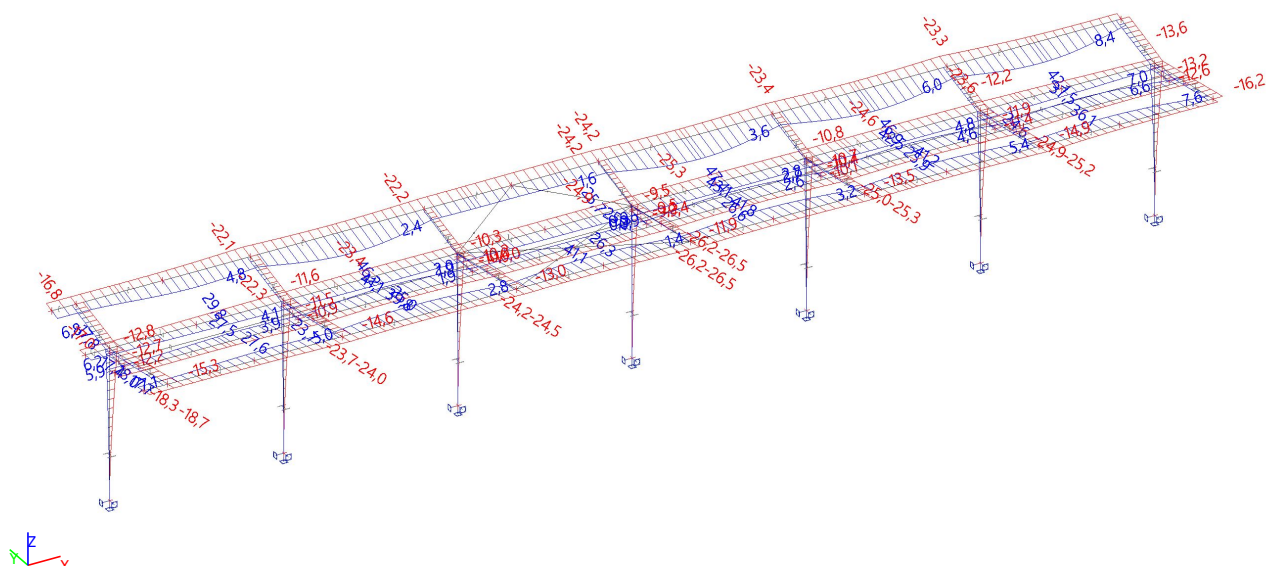
Položka	Hodnota	Jednotka	Odkaz
γ_{M0}	1,00	-	EN 1993-1-1: 6.1
γ_{M1}	1,00	-	EN 1993-1-1: 6.1
γ_{M2}	1,25	-	EN 1993-1-1: 6.1
γ_{M3}	1,25	-	EN 1993-1-8: 2.2
γ_c	1,50	-	EN 1992-1-1: 2.4.2.4
γ_{inst}	1,20	-	EN 1992-4: Table 4.1
Součinitel styčnicku β_j	0,67	-	EN 1993-1-8: 6.2.5
Účinná plocha - vliv velikosti sítě	0,10	-	
Součinitel tření - beton	0,25	-	EN 1993-1-8
Součinitel tření pro třecí spoje	0,30	-	EN 1993-1-8 tab 3.7
Mezní plastické přetvoření	0,05	-	EN 1993-1-5
Vyhodnocení napětí svarů	Plastická redistribuce		
Konstrukční zásady	Ne		
Vzdálenost mezi šrouby [d]	2,20	-	EN 1993-1-8: tab 3.3
Vzdálenost mezi šrouby a hranou [d]	1,20	-	EN 1993-1-8: tab 3.3
Únosnost vytržení betonu	Oba		EN 1992-4: 7.2.1.4 and 7.2.2.5
Použít vypočtené α_b v posudku otláčení.	Ano		EN 1993-1-8: tab 3.4
Potrhaný beton	Ano		EN 1992-4
Kontrola lokální deformace	Ne		CIDECT DG 1, 3 - 1.1
Limita lokální deformace	0,03	-	CIDECT DG 1, 3 - 1.1
Geometrická nelinearita (GMNA)	Ano		Umožnit velké deformace pro duté profily
Vyztužený systém	Ne		EN 1993-1-8: 5.2.2.5

10. DEFORMACE

10.1. Deformace na prutu; uz



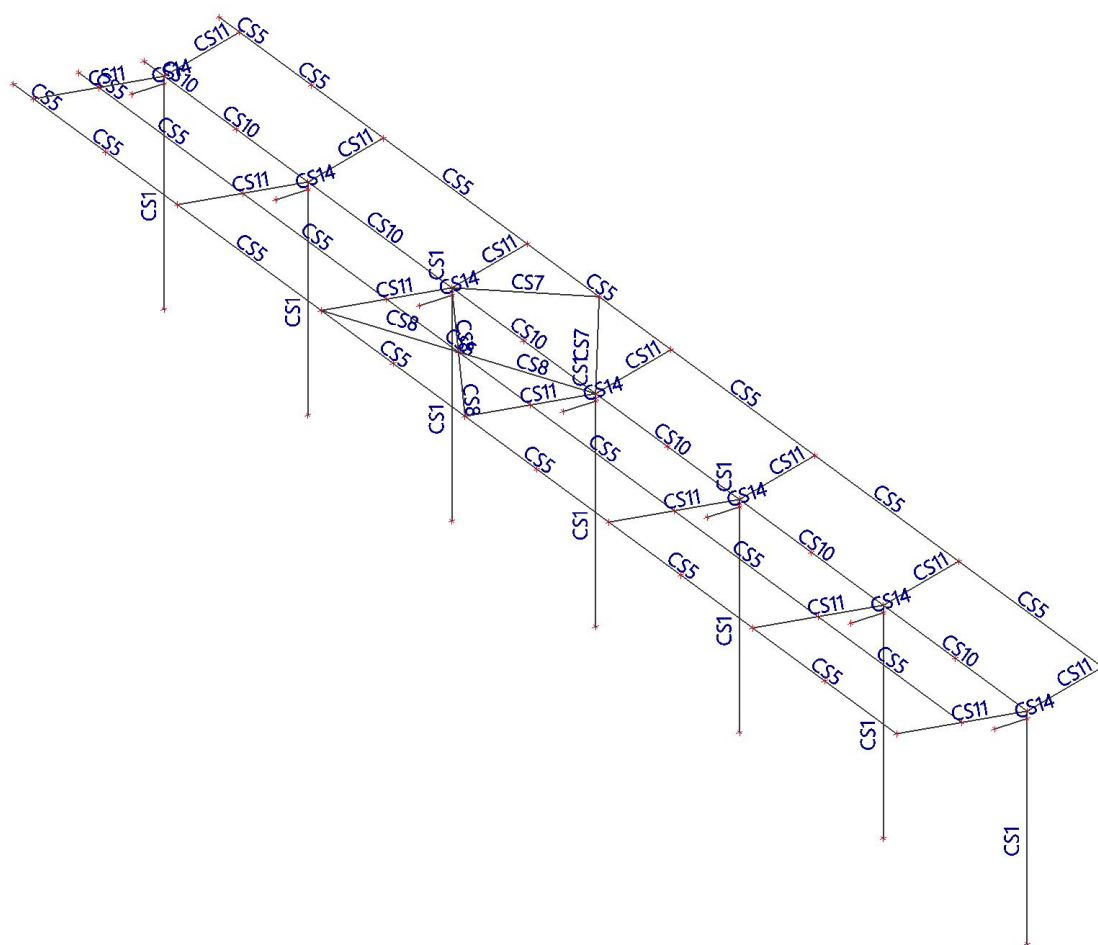
10.2. Deformace na prutu; uy



Deformace:

Sloup - $f_{lim} = 2H/300 = 2 \times 6200/300 = 41\text{mm} < \max u_y = 37\text{mm} \rightarrow \text{Vyhovuje}$

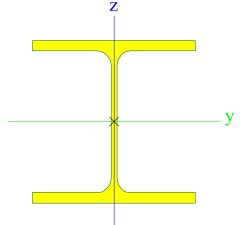
11. ČÍSLA PRŮŘEZŮ



12. POSOUZENÍ MS ÚNOSNOSTI

12.1. Průřezy

12.1.1. Průřezy - CS1

CS1		
Typ	HEB280	
Typ tvaru	Tenkostěnný	
Materiál	S 235	
Výroba	válcovaný	
Posudek rovinného vzpěru y-y, Posudek rovinného vzpěru z-z	b	c
Obrázek		

12.1.1.1. Vnitřní síly na prutu

Lineární výpočet, Extrém : Globální, Systém : Hlavní

Výběr : Vše

Kombinace : CO1

Průřez : CS1 - HEB280

Dílec	css	dx [mm]	Stav	N [kN]	Vy [kN]	Vz [kN]	Mx [kNm]	My [kNm]	Mz [kNm]
B56	CS1 - HEB280	0,000	CO1/6	-87,26	0,43	-6,30	0,01	88,66	-2,20
B112	CS1 - HEB280	100,000	CO1/1	39,98	5,27	-2,53	-1,42	-29,96	0,69
B43	CS1 - HEB280	5158,061	CO1/8	-36,55	-20,42	-3,17	8,19	26,81	-9,89
B43	CS1 - HEB280	5158,061	CO1/9	12,79	21,55	0,02	-8,03	-8,80	8,61
B56	CS1 - HEB280	0,000	CO1/4	-31,41	0,11	-15,71	0,01	128,04	-0,64
B56	CS1 - HEB280	0,000	CO1/3	12,82	-0,19	18,76	-0,02	-141,80	1,04
B43	CS1 - HEB280	5158,061	CO1/10	4,38	18,32	6,37	-8,10	-18,92	2,29
B43	CS1 - HEB280	5158,061	CO1/11	-29,82	-19,79	-4,20	8,21	33,81	-7,31
B56	CS1 - HEB280	0,000	CO1/7	-27,40	0,07	-15,69	0,01	132,14	-0,41
B43	CS1 - HEB280	0,000	CO1/1	16,21	11,69	-0,22	0,15	-13,94	-36,92
B43	CS1 - HEB280	5330,000	CO1/1	26,99	16,99	-0,22	-4,88	-19,00	16,90

12.1.1.2. Posudek ocelových prvků na MSÚ EC-EN 1993

Lineární výpočet

Kombinace: CO1

Souřadný systém: Hlavní

Extrém 1D: Globální

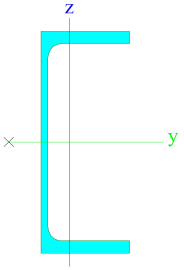
Výběr: Vše

Filtr: Průřez = CS1 - HEB280

Celkový posudek

Jméno	dx [mm]	Stav	Průřez	Materiál	UC Celkový [-]	UC Průřez [-]	UC Stabilita [-]
B43	5158,065+	CO1/1	CS1 - HEB280	S 235	0,76	0,76	0,12

12.1.2. Průřezy - CS5

CS5		
Typ	UPE200	
Typ tvaru	Tenkostěnný	
Materiál	S 235	
Výroba	válcovaný	
Posudek rovinného vzpěru y-y, Posudek rovinného vzpěru z-z	c	c
Obrázek		

12.1.2.1. Vnitřní síly na prutu

Lineární výpočet, Extrém : Globální, Systém : Hlavní

Výběr : Vše

Kombinace : CO1

Průřez : CS5 - UPE200

Dílec	css	dx [mm]	Stav	N [kN]	Vy [kN]	Vz [kN]	Mx [kNm]	My [kNm]	Mz [kNm]
B103	CS5 - UPE200	0,000	CO1/12	-7,89	-0,14	-1,90	0,00	0,00	0,00
B103	CS5 - UPE200	3060,001	CO1/13	10,39	-0,40	-0,23	0,00	-4,67	0,24
B62	CS5 - UPE200	0,000	CO1/14	-3,96	-2,83	-5,11	0,00	0,41	3,49
B63	CS5 - UPE200	6120,000	CO1/15	-4,81	2,26	5,05	0,00	0,00	0,00
B103	CS5 - UPE200	6120,000	CO1/16	4,13	0,43	-10,70	-0,01	0,00	0,00
B100	CS5 - UPE200	0,000	CO1/17	2,83	-1,36	10,71	-0,01	-1,40	1,43
B93	CS5 - UPE200	0,000	CO1/3	-0,27	-1,58	-3,38	-0,01	0,00	0,00
B93	CS5 - UPE200	0,000	CO1/18	0,26	-0,62	5,63	0,01	0,00	0,00
B102	CS5 - UPE200	3059,990	CO1/19	3,42	0,00	0,00	0,00	-11,07	-2,46
B103	CS5 - UPE200	3060,001	CO1/16	4,13	-0,70	-0,22	-0,01	16,72	0,42
B63	CS5 - UPE200	3059,990	CO1/15	-4,81	0,00	0,00	0,00	-7,72	-3,45

12.1.2.2. Posudek ocelových prvků na MSÚ EC-EN 1993

Lineární výpočet

Kombinace: CO1

Souřadný systém: Hlavní

Extrém 1D: Globální

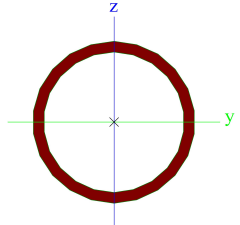
Výběr: Vše

Filtr: Průřez = CS5 - UPE200

Celkový posudek

Jméno	dx [mm]	Stav	Průřez	Materiál	UC Celkový [-]	UC Průřez [-]	UC Stabilita [-]
B106	3060,000-	CO1/1	CS5 - UPE200	S 235	0,88	0,52	0,88

12.1.3. Průřezy - CS7

CS7		
Typ	RO60.3X4	
Typ tvaru	Tenkostěnný	
Materiál	S 235	
Výroba	válcovaný	
Posudek rovinného vzpěru y-y, Posudek rovinného vzpěru z-z	a	a
Obrázek		

12.1.3.1. Vnitřní síly na prutu

Lineární výpočet, Extrém : Globální, Systém : Hlavní

Výběr : Vše

Kombinace : CO1

Průřez : CS7 - RO60.3X4

Dílec	css	dx [mm]	Stav	N [kN]	Vy [kN]	Vz [kN]	Mx [kNm]	My [kNm]	Mz [kNm]
B71	CS7 - RO60.3X4	3748,930	CO1/20	-6,93	0,00	-0,12	0,03	0,00	0,00
B70	CS7 - RO60.3X4	3748,930	CO1/21	5,37	0,00	-0,10	0,02	0,00	0,00
B70	CS7 - RO60.3X4	0,000	CO1/22	-0,84	0,00	0,12	0,00	0,00	0,00
B70	CS7 - RO60.3X4	0,000	CO1/23	-1,11	0,00	0,10	0,01	0,00	0,00
B70	CS7 - RO60.3X4	3748,930	CO1/24	-0,04	0,00	-0,14	0,00	0,00	0,00
B70	CS7 - RO60.3X4	0,000	CO1/24	-0,08	0,00	0,14	0,00	0,00	0,00
B70	CS7 - RO60.3X4	0,000	CO1/25	-1,45	0,00	0,10	-0,01	0,00	0,00
B71	CS7 - RO60.3X4	0,000	CO1/26	-5,53	0,00	0,10	0,03	0,00	0,00
B70	CS7 - RO60.3X4	0,000	CO1/27	-0,50	0,00	0,10	-0,01	0,00	0,00
B70	CS7 - RO60.3X4	1874,460	CO1/24	-0,06	0,00	0,00	0,00	0,13	0,00
B70	CS7 - RO60.3X4	0,000	CO1/28	-1,12	0,00	0,10	0,01	0,00	0,00

12.1.3.2. Posudek ocelových prvků na MSÚ EC-EN 1993

Lineární výpočet

Kombinace: CO1

Souřadný systém: Hlavní

Extrém 1D: Globální

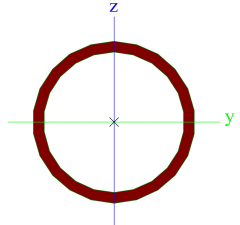
Výběr: Vše

Filtr: Průřez = CS7 - RO60.3X4

Celkový posudek

Jméno	dx [mm]	Stav	Průřez	Materiál	UC Celkový [-]	UC Průřez [-]	UC Stabilita [-]
B71	3748,933	CO1/1	CS7 - RO60.3X4	S 235	0,22	0,04	0,22

12.1.4. Průřezy - CS8

CS8		
Typ	RO60.3X4	
Typ tvaru	Tenkostěnný	
Materiál	S 235	
Výroba	válcovaný	
Posudek rovinného vzpěru y-y, Posudek rovinného vzpěru z-z	a	a
Obrázek		

12.1.4.1. Vnitřní síly na prutu

Lineární výpočet, Extrém : Globální, Systém : Hlavní

Výběr : Vše

Kombinace : CO1

Průřez : CS8 - RO60.3X4

Dílec	css	dx [mm]	Stav	N [kN]	Vy [kN]	Vz [kN]	Mx [kNm]	My [kNm]	Mz [kNm]
B108	CS8 - RO60.3X4	3569,390	CO1/29	-9,41	0,00	-0,11	-0,03	0,00	0,00
B107	CS8 - RO60.3X4	3569,390	CO1/26	10,57	0,00	-0,10	0,00	0,00	0,00
B109	CS8 - RO60.3X4	1297,960	CO1/23	1,54	0,00	0,03	-0,01	0,08	0,00
B107	CS8 - RO60.3X4	0,000	CO1/30	-0,79	0,00	0,11	-0,02	0,00	0,00
B107	CS8 - RO60.3X4	3569,390	CO1/24	-0,50	0,00	-0,13	-0,01	0,00	0,00
B107	CS8 - RO60.3X4	0,000	CO1/24	-0,52	0,00	0,13	-0,01	0,00	0,00
B107	CS8 - RO60.3X4	0,000	CO1/6	-0,87	0,00	0,11	-0,04	0,00	0,00
B110	CS8 - RO60.3X4	0,000	CO1/5	2,01	0,00	0,10	0,08	0,00	0,00
B107	CS8 - RO60.3X4	0,000	CO1/31	-0,28	0,00	0,10	0,03	0,00	0,00
B107	CS8 - RO60.3X4	1784,680	CO1/24	-0,51	0,00	0,00	-0,01	0,12	0,00
B107	CS8 - RO60.3X4	0,000	CO1/3	2,14	0,00	0,10	0,02	0,00	0,00

12.1.4.2. Posudek ocelových prvků na MSÚ EC-EN 1993

Lineární výpočet

Kombinace: CO1

Souřadný systém: Hlavní

Extrém 1D: Globální

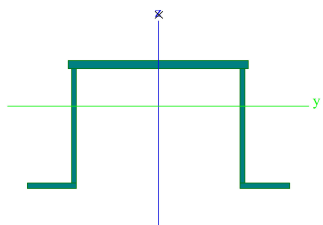
Výběr: Vše

Filtr: Průřez = CS8 - RO60.3X4

Celkový posudek

Jméno	dx [mm]	Stav	Průřez	Materiál	UC Celkový [-]	UC Průřez [-]	UC Stabilita [-]
B108	3569,386	CO1/1	CS8 - RO60.3X4	S 235	0,27	0,06	0,27

12.1.5. Průřezy - CS10

CS10		
Typ	Obecný průřez	
Typ tvaru	Tenkostěnný	
Materiál	S 235	
Výroba	obecný	
Posudek rovinného vzpěru y-y, Posudek rovinného vzpěru z-z	d	d
Obrázek		

12.1.5.1. Vnitřní síly na prutu

Lineární výpočet, Extrém : Globální, Systém : Hlavní

Výběr : Vše

Kombinace : CO1

Průřez : CS10 - Obecný průřez

Dílec	css	dx [mm]	Stav	N [kN]	Vy [kN]	Vz [kN]	Mx [kNm]	My [kNm]	Mz [kNm]
B80	CS10 - Obecný průřez	0,000	CO1/32	-37,85	-0,37	-0,28	0,00	0,00	0,00
B66	CS10 - Obecný průřez	0,000	CO1/33	34,01	-0,37	0,56	0,00	0,00	0,00
B65	CS10 - Obecný průřez	0,000	CO1/7	-9,82	-3,73	-0,21	0,00	2,21	6,64
B65	CS10 - Obecný průřez	0,000	CO1/3	13,02	2,96	3,33	0,00	-5,42	-5,68
B65	CS10 - Obecný průřez	0,000	CO1/34	-11,20	-1,42	-14,69	0,00	17,47	4,44
B80	CS10 - Obecný průřez	6120,000	CO1/35	-21,80	-1,07	11,84	0,00	0,00	0,00
B94	CS10 - Obecný průřez	0,000	CO1/3	10,10	2,03	2,45	-0,01	0,00	0,00
B94	CS10 - Obecný průřez	0,000	CO1/36	-10,38	-1,75	-6,57	0,01	0,00	0,00
B66	CS10 - Obecný průřez	3059,990	CO1/37	17,28	0,00	0,00	0,00	-18,11	1,63

12.1.5.2. Posudek ocelových prvků na MSÚ EC-EN 1993

Lineární výpočet

Kombinace: CO1

Souřadný systém: Hlavní

Extrém 1D: Globální

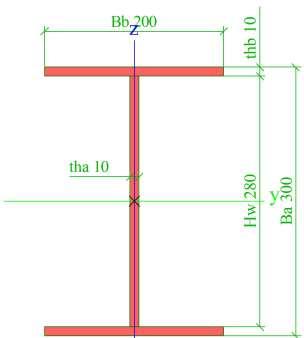
Výběr: Vše

Filtr: Průřez = CS10 - Obecný průřez

Celkový posudek

Jméno	dx [mm]	Stav	Průřez	Materiál	UC Celkový [-]	UC Průřez [-]	UC Stabilita [-]
B65	0,000	CO1/1	CS10 - Obecný průřez	S 235	0,53	0,33	0,53

12.1.6. Průřezy - CS11

CS11		
Typ	lw	
Detailní	300; 10; 200; 10; 280; 0	
Typ tvaru	Tenkostěnný	
Materiál	S 235	
Výroba	svařovaný	
Posudek rovinného vzpěru y-y, Posudek rovinného vzpěru z-z	b	c
Obrázek		

12.1.6.1. Vnitřní síly na prutu

Lineární výpočet, Extrém : Globální, Systém : Hlavní

Výběr : Vše

Kombinace : CO1

Průřez : CS11 - lw (300; 10; 200; 10; 280; 0)

Dílec	css	dx [mm]	Stav	N [kN]	Vy [kN]	Vz [kN]	Mx [kNm]	My [kNm]	Mz [kNm]
B58	CS11 - lw	3675,300	CO1/38	-8,77	-0,03	8,30	0,00	20,91	-0,05
B55	CS11 - lw	0,000	CO1/39	0,93	-0,12	-4,40	-0,01	0,07	0,00
B46	CS11 - lw	0,000	CO1/40	-3,64	-4,08	4,53	0,13	-8,56	5,60
B49	CS11 - lw	1837,651	CO1/41	-5,65	3,46	9,21	0,01	4,77	-2,11
B58	CS11 - lw	3675,300	CO1/16	-3,13	0,23	-34,52	0,02	-84,18	0,29
B78	CS11 - lw	1837,651	CO1/42	-6,51	-0,57	20,42	-0,02	11,50	0,17
B91	CS11 - lw	1732,681	CO1/32	-0,81	-2,61	0,31	-0,17	-0,14	1,16
B46	CS11 - lw	0,000	CO1/43	-3,63	-3,84	-1,72	0,14	4,99	5,18
B78	CS11 - lw	3675,300	CO1/3	-6,63	0,44	19,52	0,00	48,37	0,65
B46	CS11 - lw	0,000	CO1/44	-0,58	2,15	2,22	-0,09	-3,69	-4,79
B46	CS11 - lw	0,000	CO1/45	-2,78	-4,06	4,72	0,13	-8,96	6,34

12.1.6.2. Posudek ocelových prvků na MSÚ EC-EN 1993

Lineární výpočet

Kombinace: CO1

Souřadný systém: Hlavní

Extrém 1D: Globální

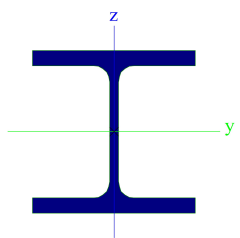
Výběr: Vše

Filtr: Průřez = CS11 - lw (300; 10; 200; 10; 280; 0)

Celkový posudek

Jméno	dx [mm]	Stav	Průřez	Materiál	UC Celkový [-]	UC Průřez [-]	UC Stabilita [-]
B85	3675,277	CO1/1	CS11 - lw (300; 10; 200; 10; 280; 0)	S 235	0,48	0,45	0,48

12.1.7. Průřezy - CS14

CS14		
Typ	HEB120	
Typ tvaru	Tenkostěnný	
Materiál	S 235	
Výroba	válcovaný	
Posudek rovinného vzpěru y-y, Posudek rovinného vzpěru z-z	b	c
Obrázek		

12.1.7.1. Vnitřní síly na prutu

Lineární výpočet, Extrém : Globální, Systém : Hlavní

Výběr : Vše

Kombinace : CO1

Průřez : CS14 - HEB120

Dílec	css	dx [mm]	Stav	N [kN]	Vy [kN]	Vz [kN]	Mx [kNm]	My [kNm]	Mz [kNm]
B81	CS14 - HEB120	0,000	CO1/46	0,00	0,00	0,00	0,00	0,00	0,00
B73	CS14 - HEB120	900,440	CO1/47	0,25	-5,63	-8,06	0,00	-5,24	-3,10
B72	CS14 - HEB120	350,171	CO1/11	0,17	-15,42	-5,34	0,00	-1,32	0,00
B72	CS14 - HEB120	350,171	CO1/10	0,02	15,22	-0,71	0,00	0,14	0,00
B88	CS14 - HEB120	0,000	CO1/48	0,00	0,00	0,00	0,00	0,00	0,00
B73	CS14 - HEB120	350,171	CO1/49	0,24	5,69	-7,57	0,00	-1,18	0,00
B74	CS14 - HEB120	350,041	CO1/49	0,12	2,67	-7,60	0,00	-0,82	0,00
B88	CS14 - HEB120	900,440	CO1/50	0,24	5,72	-7,76	0,00	-5,86	3,15
B95	CS14 - HEB120	350,171	CO1/3	0,02	-8,89	-0,71	0,00	0,61	0,00
B72	CS14 - HEB120	900,440	CO1/11	0,17	-15,42	-5,51	0,00	-4,31	-8,48
B72	CS14 - HEB120	900,440	CO1/10	0,03	15,22	-0,86	0,00	-0,29	8,38

12.1.7.2. Posudek ocelových prvků na MSÚ EC-EN 1993

Lineární výpočet

Kombinace: CO1

Souřadný systém: Hlavní

Extrém 1D: Globální

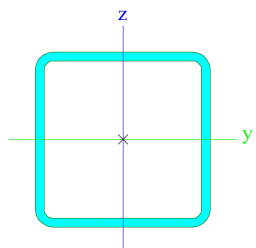
Výběr: Vše

Filtr: Průřez = CS14 - HEB120

Celkový posudek

Jméno	dx [mm]	Stav	Průřez	Materiál	UC Celkový [-]	UC Průřez [-]	UC Stabilita [-]
B72	900,437	CO1/1	CS14 - HEB120	S 235	0,46	0,46	0,00

12.1.8. Průřezy - CS15

CS15		
Typ	VHP120/120x6.0	
Typ tvaru	Tenkostěnný	
Materiál	S 235	
Výroba	tvářený za studena	
Posudek rovinného vzpěru y-y, Posudek rovinného vzpěru z-z	c	c
Obrázek		

12.1.8.1. Vnitřní síly na prutu

Lineární výpočet, Extrém : Globální, Systém : Hlavní

Výběr : Vše

Kombinace : CO1

Průřez : CS15 - VHP120/120x6.0

Dílec	css	dx [mm]	Stav	N [kN]	Vy [kN]	Vz [kN]	Mx [kNm]	My [kNm]	Mz [kNm]
B117	CS15 - VHP120/120x6.0	6120,000	CO1/10	-28,99	-0,62	0,00	0,08	0,00	0,00
B117	CS15 - VHP120/120x6.0	0,000	CO1/51	29,16	2,24	0,00	-0,07	0,00	0,00
B115	CS15 - VHP120/120x6.0	6120,000	CO1/52	-8,90	-2,37	0,00	-0,04	0,00	0,00
B115	CS15 - VHP120/120x6.0	0,000	CO1/53	8,91	2,37	0,00	0,07	0,00	0,00
B115	CS15 - VHP120/120x6.0	0,000	CO1/54	-15,20	2,24	0,00	0,12	0,00	0,00
B120	CS15 - VHP120/120x6.0	0,000	CO1/3	-8,89	0,62	0,00	-0,63	0,00	0,00
B120	CS15 - VHP120/120x6.0	0,000	CO1/36	8,92	2,24	0,00	0,61	0,00	0,00
B115	CS15 - VHP120/120x6.0	0,000	CO1/17	-8,50	2,24	0,00	-0,37	0,00	0,00
B115	CS15 - VHP120/120x6.0	0,000	CO1/31	8,66	0,62	0,00	0,33	0,00	0,00
B116	CS15 - VHP120/120x6.0	3060,000	CO1/55	-14,66	0,15	0,00	-0,01	0,00	3,85

12.1.8.2. Posudek ocelových prvků na MSÚ EC-EN 1993

Lineární výpočet

Kombinace: CO1

Souřadný systém: Hlavní

Extrém 1D: Globální

Výběr: Vše

Filtr: Průřez = CS15 - VHP120/120x6.0

Celkový posudek

Jméno	dx [mm]	Stav	Průřez	Materiál	UC Celkový [-]	UC Průřez [-]	UC Stabilita [-]
B117	6120,000	CO1/1	CS15 - VHP120/120x6.0	S 235	0,28	0,05	0,28

Pro $L=1,75\text{m}$, řešeno jako spojitý nosník o dvou polích o rozpětí $1,75\text{m}$
únosnost : $q_{d1} = 4,56 \text{ kN/m}^2 > p = 3,20 \text{ kN/m}^2$

deformace: $q_{k1} = 7,70 \text{ kN/m}^2 > p = 2,12 \text{ kN/m}^2$

TR 50/250

pozitivní



dle ČSN EN 1993-1-3: 2010

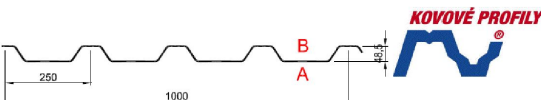
$\gamma_{M0} = 1,00$

Deformace = $L/200$

t_N [mm]	g [kg/m ²]		Rozpětí [m]																							
			1,00	1,25	1,50	1,75	2,00	2,25	2,50	2,75	3,00	3,25	3,50	3,75	4,00	4,25	4,50	4,75	5,00	5,25	5,50	5,75	6,00			
0,75	7,50	q_{d1}	12,66	9,03	6,78	5,29	4,25	3,49	2,92	2,48	2,13	1,85	1,62	1,43	1,27	1,13	1,01	0,90	0,81	0,74	0,67	0,62	0,57			
		q_{d2}	10,97	7,93	6,03	4,75	3,85	3,18	2,68	2,28	1,97	1,72	1,52	1,34	1,20	1,08	0,98	0,89	0,81	0,74	0,67	0,62	0,57			
		q_k	41,27	21,13	12,23	7,70	5,16	3,62	2,64	1,98	1,53	1,20	0,96	0,78	0,64	0,54	0,45	0,39	0,33	0,29	0,25	0,22	0,19			

TR 50/250


negativní



dle ČSN EN 1993-1-3: 2010

$\gamma_{M0} = 1,00$

Deformace = $L/200$

Připustné rovnoměrné zatížení [kN/m²]																								
t _N [mm]	g [kg/m²]		Rozpětí [m]																					
			1,00	1,25	1,50	1,75	2,00	2,25	2,50	2,75	3,00	3,25	3,50	3,75	4,00	4,25	4,50	4,75	5,00	5,25	5,50	5,75	6,00	
			q _{d1}	12,22	8,69	6,51	5,07	4,06	3,33	2,79	2,37	2,03	1,76	1,54	1,35	1,19	1,05	0,94	0,84	0,76	0,69	0,63	0,58	0,53
0,75	7,50	q _{d2}	10,60	7,65	5,80	4,56	3,69	3,04	2,57	2,19	1,89	1,64	1,44	1,28	1,14	1,03	0,93	0,84	0,76	0,69	0,63	0,58	0,53	
		q _k	54,71	28,01	16,21	10,21	6,84	4,60	3,50	2,63	2,03	1,59	1,28	1,04	0,85	0,71	0,60	0,51	0,44	0,38	0,33	0,29	0,25	